



Paseo Geológico por Valencia.

Por Luis Angel Alonso Matilla

Archivo 6

Sierra de Chiva, Barranco de La Parra. (por-juanjoconvlc-google)



Cuando viajes tómate tu tiempo y mira. Valencia, solo la playa..

Los Cuchillos (por José Palau Domenech-Google)



© by Juanjo (2011)

Si ya sé, una preciosidad que nos regalan, en este caso [_per_juanjocomvsc-google](#). A él y a cuantos nos ofrecen cosas así, gracias. Pero, tal vez, sea mas guapo verlo en el campo.

En Chiva, Valencia. Hoja de Cheste.

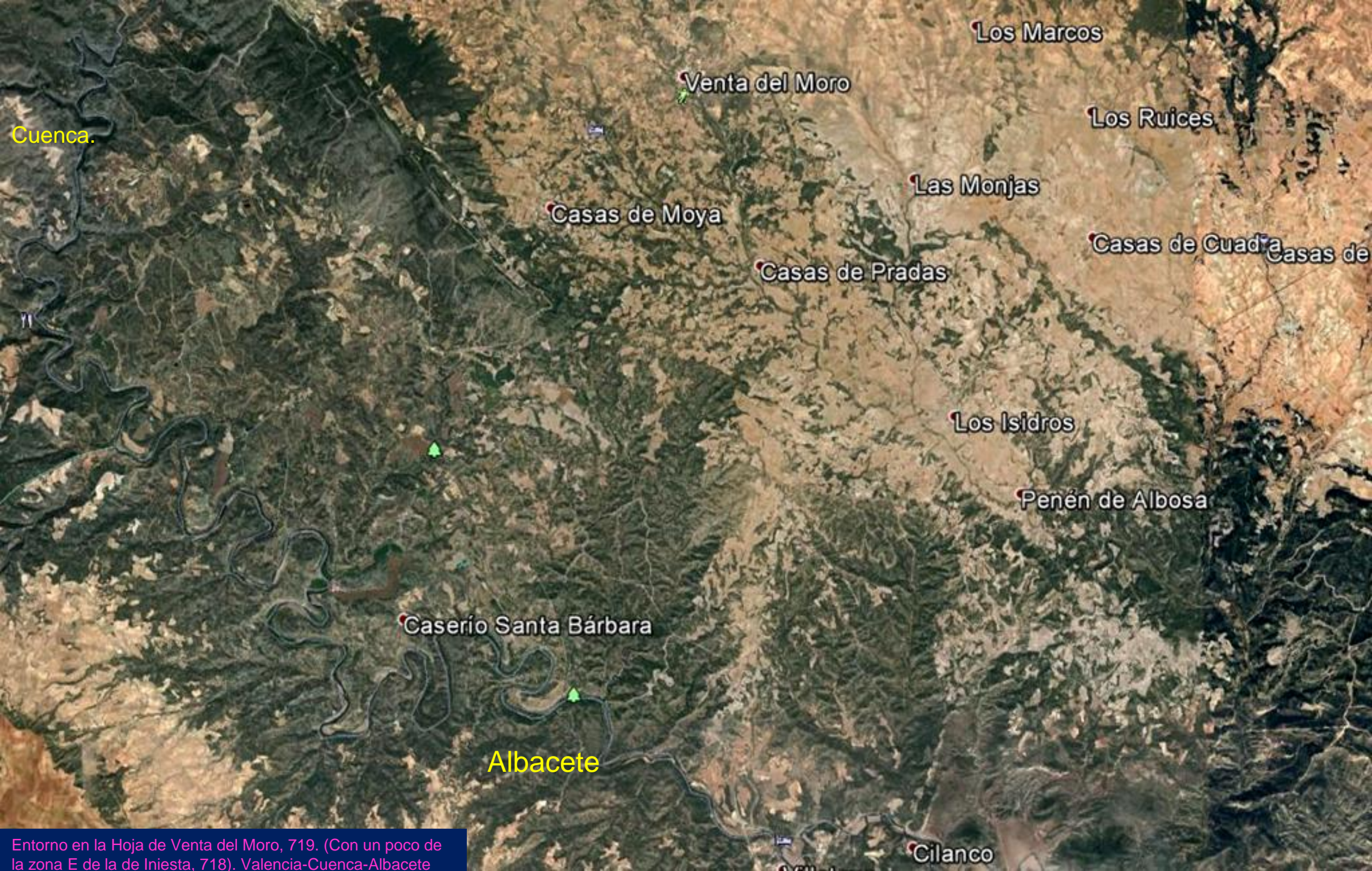


En este Archivo 6 del Paseo Geológico por Valencia vamos de las llanuras de Venta del Moro a las montañas de Siete Aguas y al mar. Pero, como nos acercamos a la capital, los afloramientos rocosos, por génesis y por densidad de construcciones se hacen escasos. Y eso es bueno, para que movamos las posaderas y nos marchemos al campo. Consulta antes las siguientes Hojas Geológicas a escala 1:50.000- Venta del Moro, 719; Requena, 720; Cheste, 721 y Valencia 722.

Es curioso que en tan 'corta' distancia lleguemos a ver tanta diversidad de paisajes, de estructuras y de rocas. Pero.. tienes que ir a verlos.

Que te diviertas.

Un saludo de Luis Angel Alonso Matilla.



Cuenca.

Los Marcos

Venta del Moro

Los Ruices

Casas de Moya

Las Monjas

Casas de Cuadra

Casas de

Casas de Pradas

Los Isidros

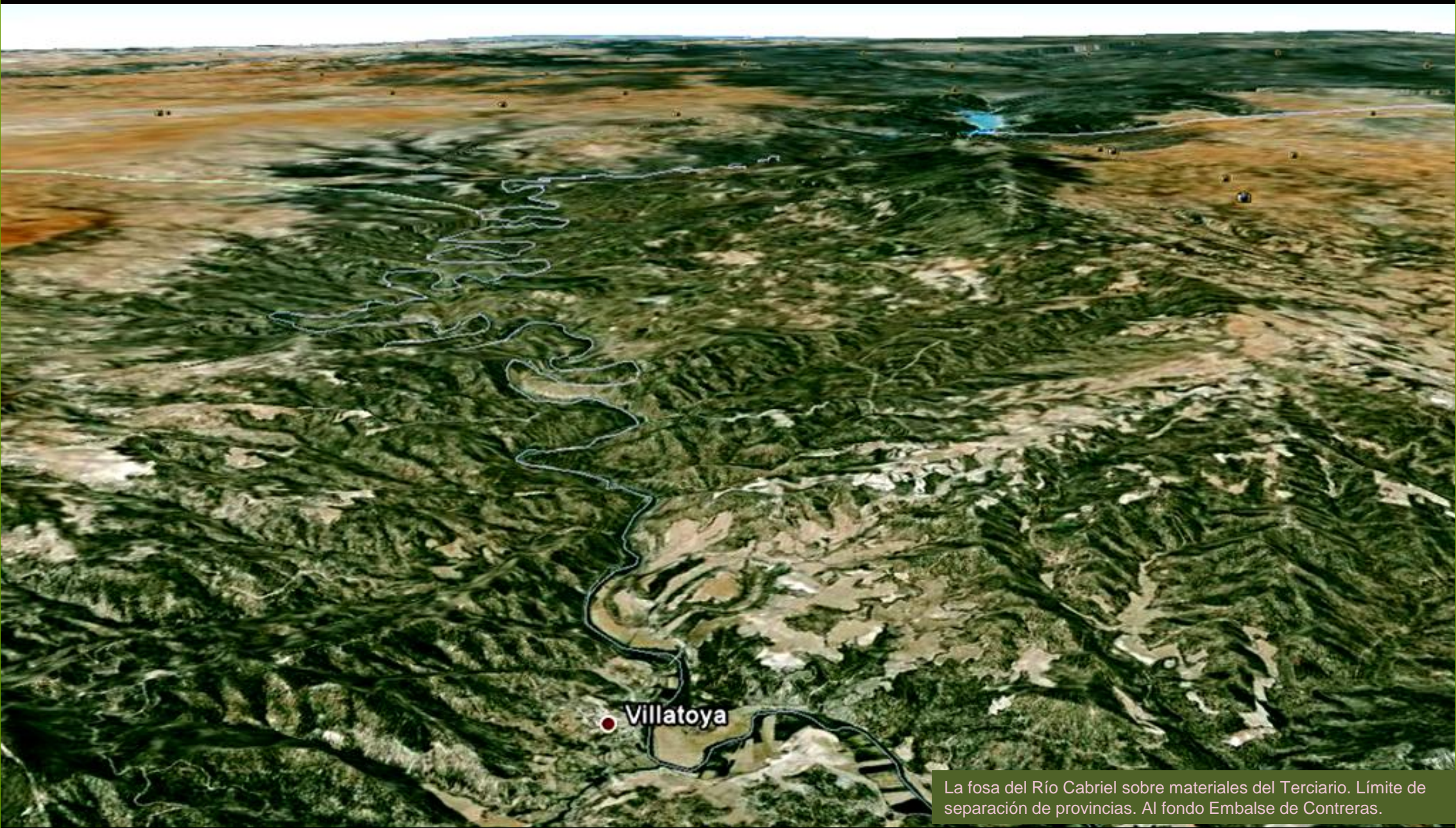
Penén de Albosa

Caserío Santa Bárbara

Albacete

Cilanco

Entorno en la Hoja de Venta del Moro, 719. (Con un poco de la zona E de la de Iniesta, 718). Valencia-Cuenca-Albacete



Villatoya

La fosa del Río Cabriel sobre materiales del Terciario. Límite de separación de provincias. Al fondo Embalse de Contreras.

Casas de Moya



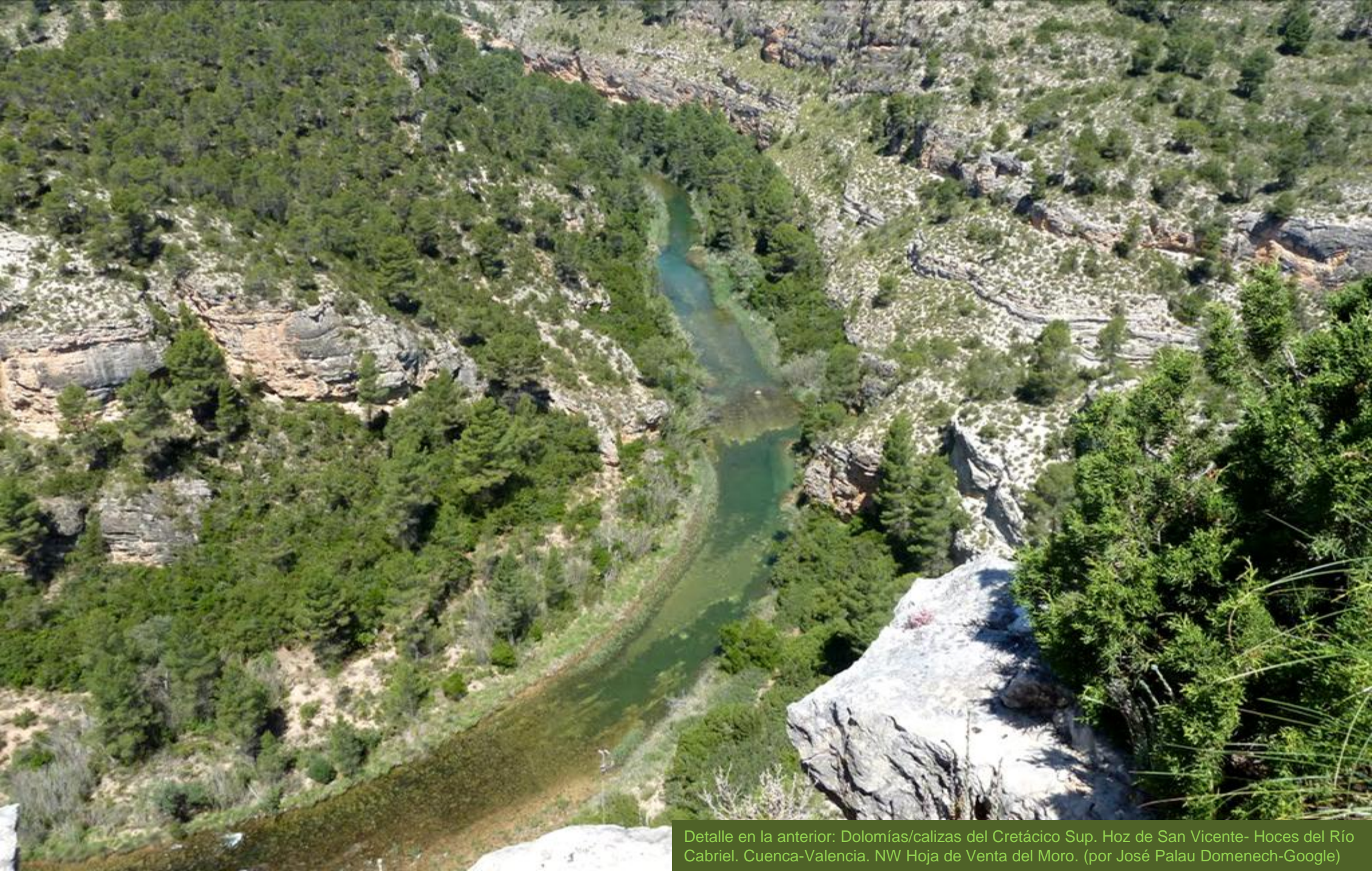
Relieves de calizas verticales del Cretácico al W de Venta del Moro, vista desde el W. NW Hoja de Venta del Moro



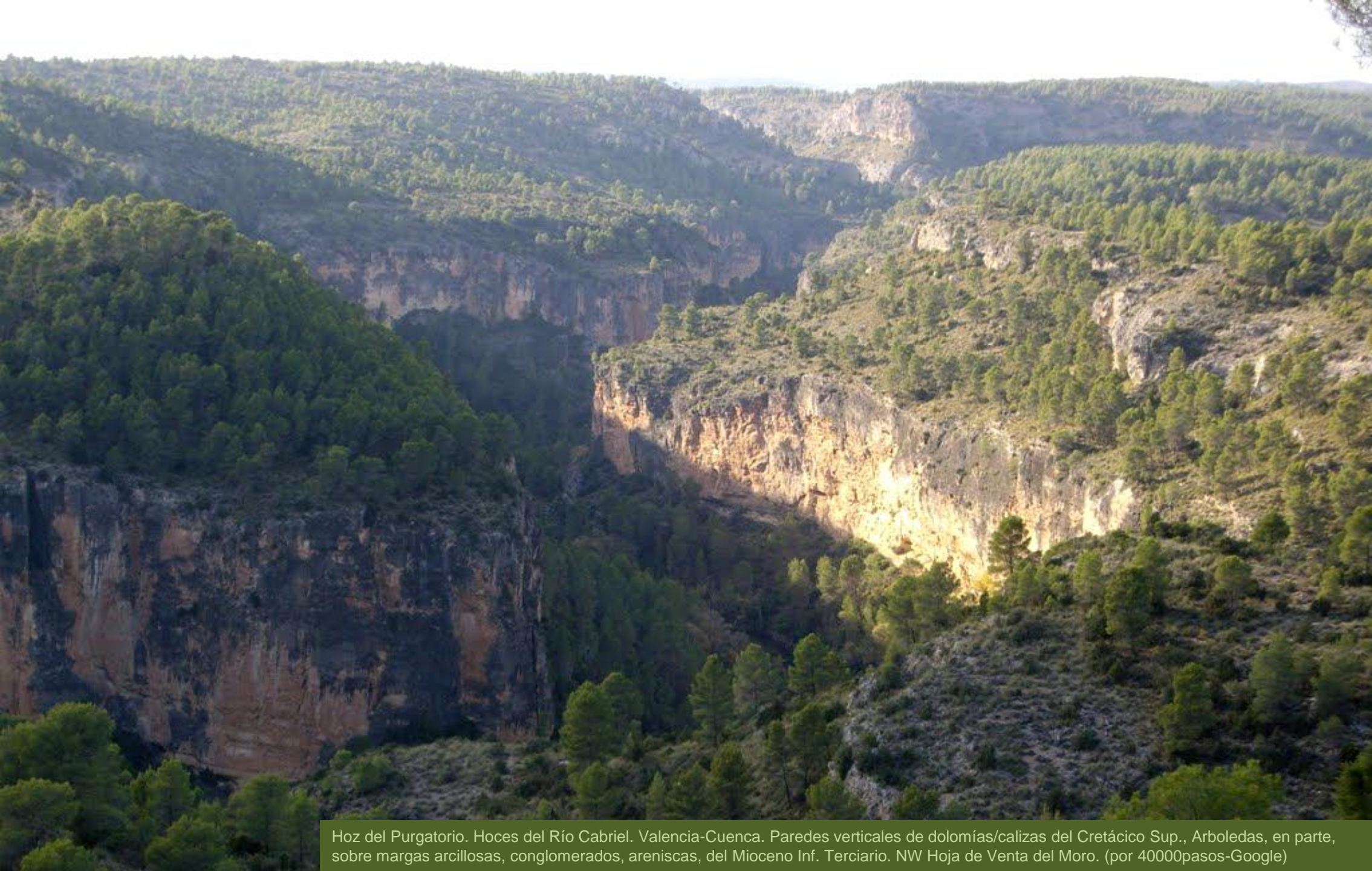
Hoces del Río Cabriel. Dolomías del Cretácico Sup. N Cerro del Purgatorio. NW de Venta del Moro. (por punvi-google) Valencia-Cuenca



Dolomías/calizas del Cretácico Sup. Hoz de San Vicente- Hoces del Río Cabriel. Cuenca-Valencia. NW Hoja de Venta del Moro. (por José Palau Domenech-Google)



Detalle en la anterior: Dolomías/calizas del Cretácico Sup. Hoz de San Vicente- Hoces del Río Cabriel. Cuenca-Valencia. NW Hoja de Venta del Moro. (por José Palau Domenech-Google)



Hoz del Purgatorio. Hoces del Río Cabriel. Valencia-Cuenca. Paredes verticales de dolomías/calizas del Cretácico Sup., Arboledas, en parte, sobre margas arcillosas, conglomerados, areniscas, del Mioceno Inf. Terciario. NW Hoja de Venta del Moro. (por 40000pasos-Google)



Hacia las Hoces del Cabriel y Los Cuchillos. Cretácicos y Terciarios. NW Hoja de Venta del Moro. (por angbar11-google)

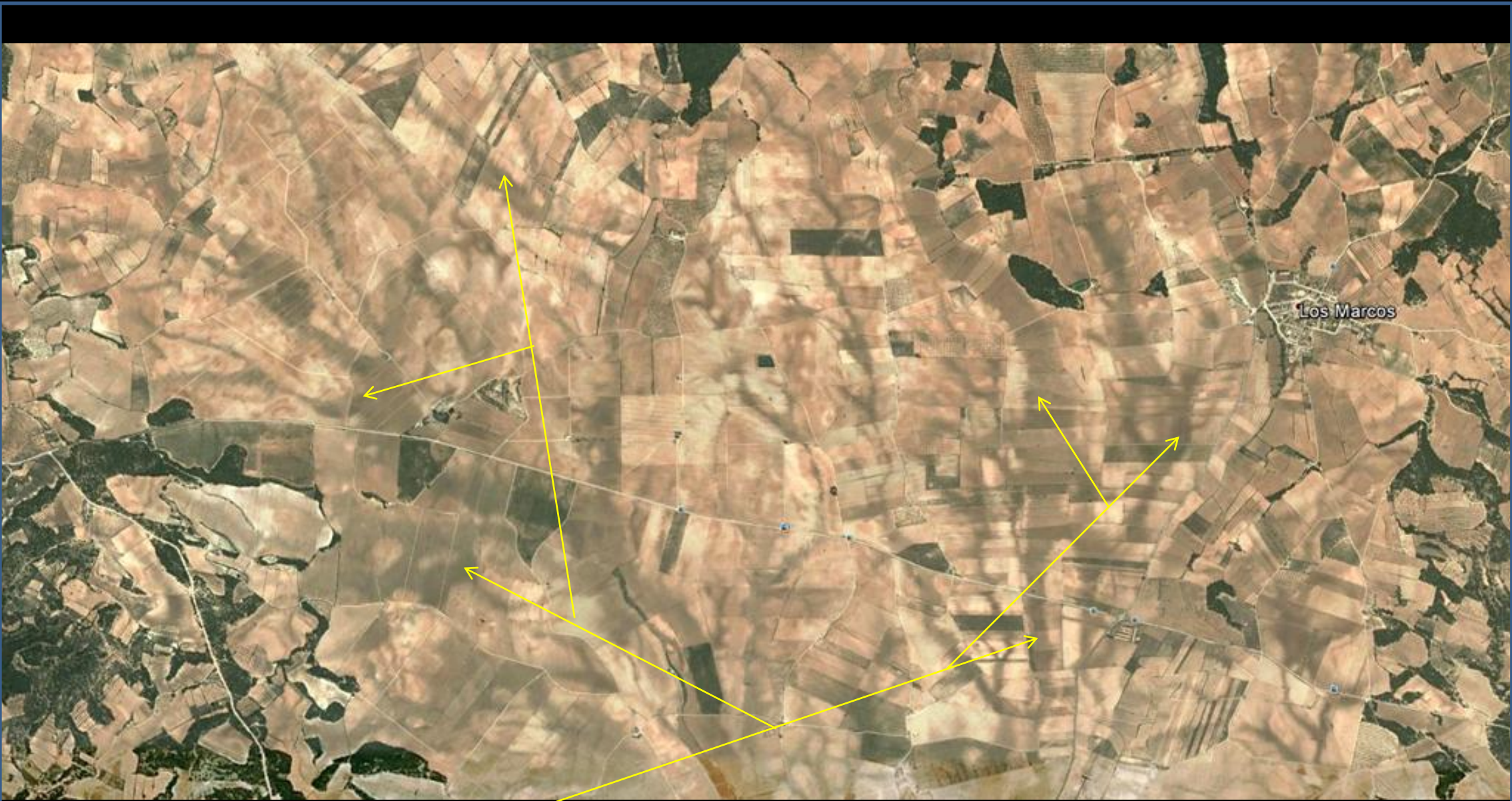


Viñas en terrenos calizo-margosos del Mioceno Med.-Sup. Terciario.
NW de Casas del Rey, Valencia. N Centro Hoja de Venta del Moro.



©2015 Google

Carreteras sobre llanuras con areniscas del Mioceno Med.-
Sup. Terciario. E de Venta del Moro, Valencia. NE Hoja.



Freáticos sub-superficiales en los campos de terrenos del Mioceno, Terciario. W de Los Marcos, Valencia. NE Hoja de Venta del Moro



Vista desde el campo de la zona anterior. Campos de terrenos del Mioceno, Terciario. W de Los Marcos, Valencia. NE Hoja de Venta del Moro

© 2013 Google



Rambla seca de arroyo al N de casas de Eufemia, Valencia. Margas arcillosas rojas del Mioceno Inf. Terciario. NE Hoja de Venta del Moro.



Margas rojizas y areniscas del Mioceno Med.-Sup. Terciario. SW de Casas de Moya, Valencia. NW Hoja de Venta del Moro.



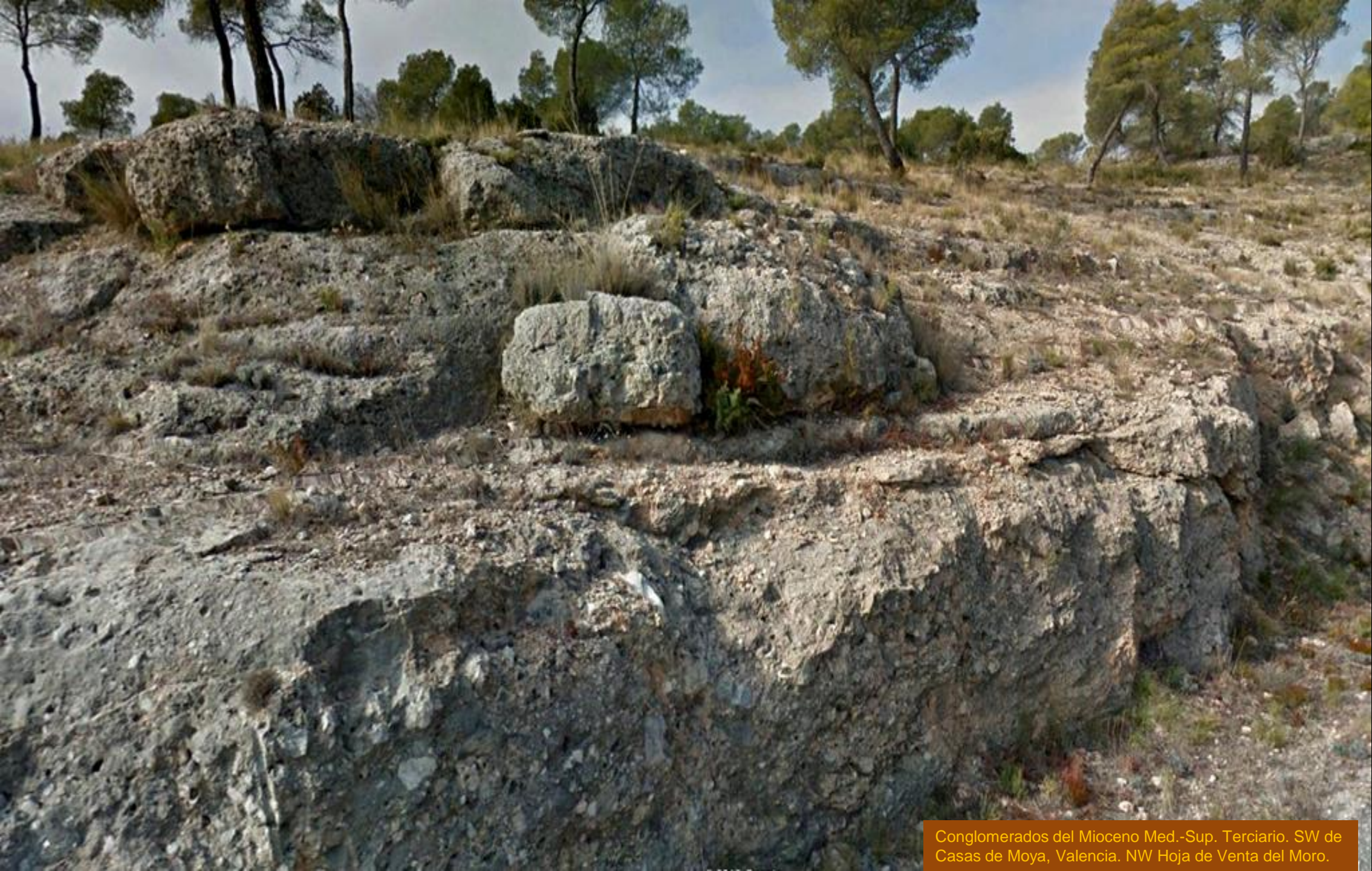
Margas rojizas, conglomerados y areniscas del Mioceno Med.-Sup.
Terciario. SW de Casas de Moya, Valencia. NW Hoja de Venta del Moro.



Detalle en anterior: Conglomerados y areniscas del Mioceno Med.-Sup. Terciario. SW de Casas de Moya, Valencia. NW Hoja de Venta del Moro.



Detalle en anterior: Conglomerados y areniscas del Mioceno Med.-Sup. Terciario. SW de Casas de Moya, Valencia. NW Hoja de Venta del Moro.



Conglomerados del Mioceno Med.-Sup. Terciario. SW de Casas de Moya, Valencia. NW Hoja de Venta del Moro.



Llanura en terrenos del Mioceno Inf. Terciario y Cuaternario. E de Casas de Cuadra, Valencia. NE Hoja de Venta del Moro.



Llanura en terrenos del Mioceno Inf. Terciario y Cuaternario.
W de Los Duques, Valencia. NE Hoja de Venta del Moro.



Calizas del Cretácico. SW de Casas de Moya, Valencia.
W del Puntal Merino, NW Hoja de Venta del Moro.



Calizas del Cretácico. SW de Casas de Moya, Valencia.
W del Puntal Merino, NW Hoja de Venta del Moro.



Puente de Vadocañas sobre el Río Cabriel. Terrenos del Mioceno Inf., Terciario. Cuenca-Valencia. NW Hoja de Venta del Moro. (por sergivaldi22-google)



Meandro del Cabriel, Hoz de Vicente. SW del Cabeza del Moro. Valencia-Cuenca. W Hoja de Venta del Moro. (por Alfonso Pitarque-Google)



Margas arcillosas rojizas y areniscas del Mioceno Inf. Terciario SW de Los Isidros, Valencia E Hoja de Venta del Moro.



Margas y areniscas del Mioceno, Terciario. SW de Cabeza del Fraile, Valencia. Centro S Hoja de Venta del Moro.



Detalle en anterior: Margas y areniscas del Mioceno, Terciario. SW de Cabeza del Fraile, Valencia. Centro S Hoja de Venta del Moro.



Calizas del Mioceno Med.-Sup. Terciario. NW Balneario de Fuente Podrida, Valencia. SW Hoja de Venta del Moro.



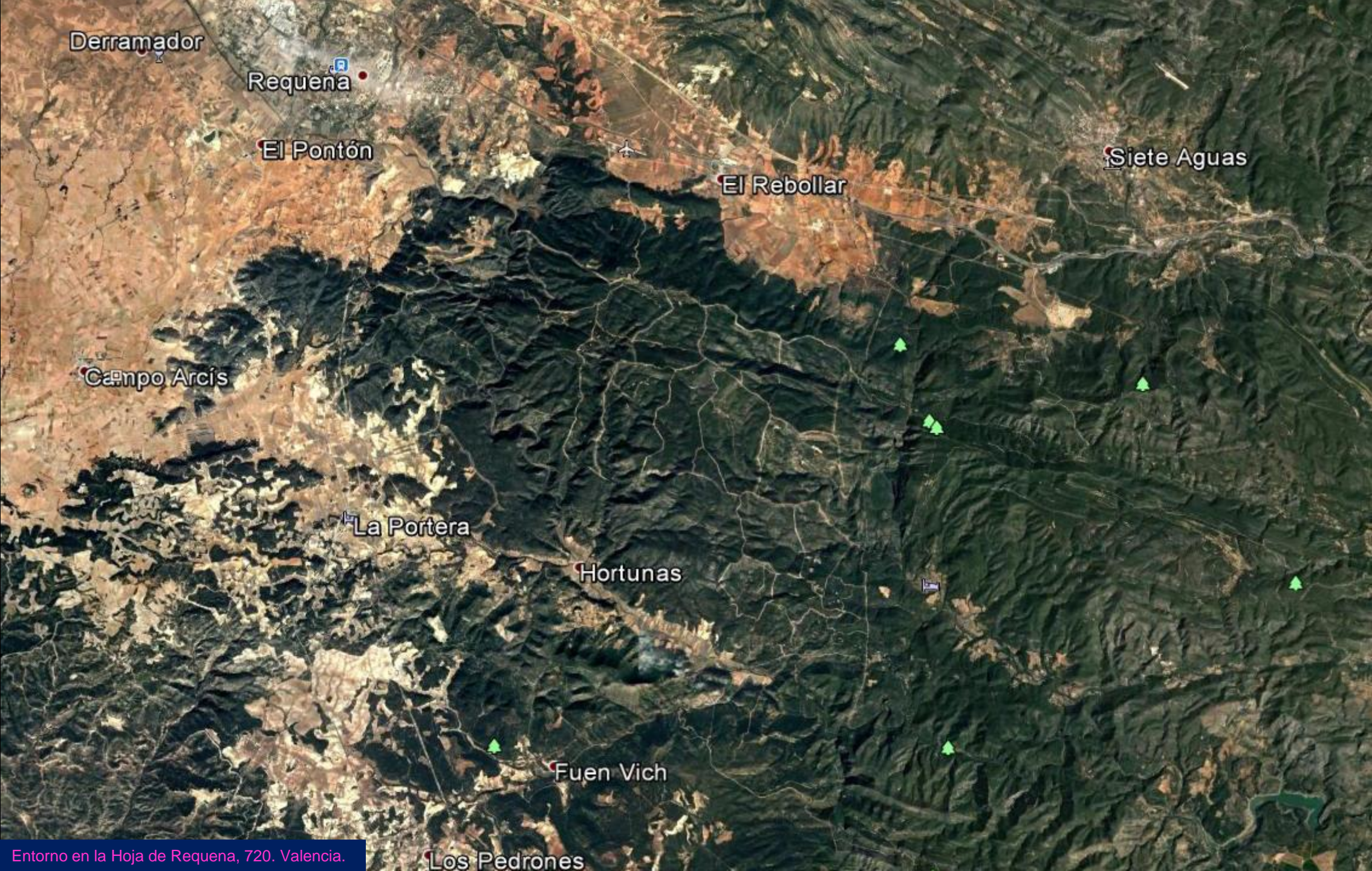
Talud meta-estable de margas arcillosas y areniscas del Mioceno Inf. Terciario. N del Balneario de Fuente Podrida, Valencia. SW Hoja de Venta del Moro.



Yesos plegados y arcillas del Keuper, Triásico Sup. S de Los Isidros, Valencia. SE Hoja de Venta del Moro. (por javigogar-google)



Yesos plegados y arcillas del Keuper, Triásico Sup. S de Los Isidros, Valencia. SE Hoja de Venta del Moro. (por javigogar-google)



Derramador

Requena

El Pontón

El Rebollar

Siete Aguas

Campo Arcís

La Portera

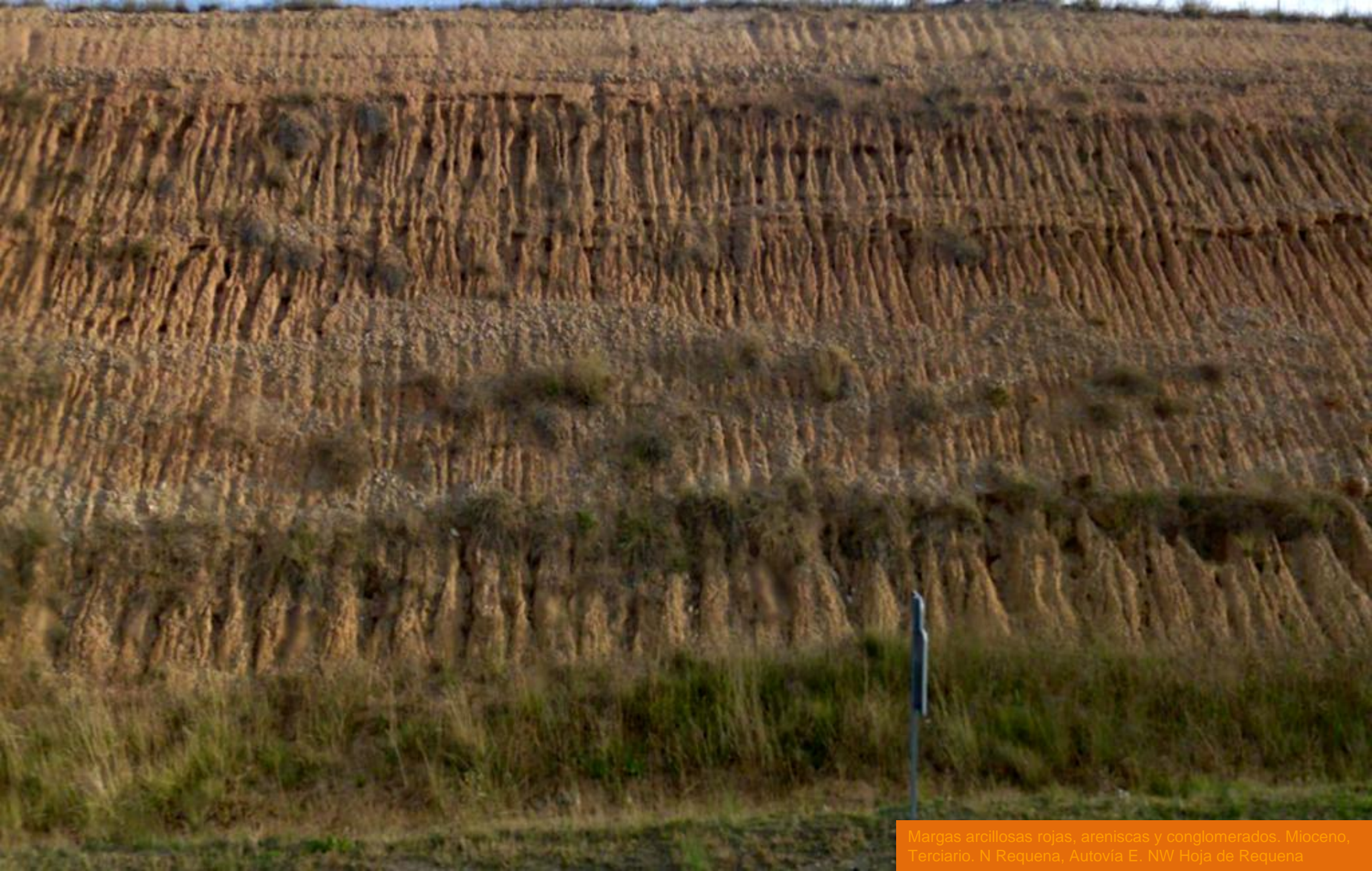
Hortunas

Fuen Vich

Los Pedrones



Margas arcillosas rojas y areniscas, del Mioceno Med.-Sup., y algo de Cuaternario de fondos de valle y aluviones. Comarca de Requena, Valencia, y aldeas. W de El Derramador. NW Hoja. (por Felipe Martinez-Google)



Margas arcillosas rojas, areniscas y conglomerados. Mioceno, Terciario. N Requena, Autovía E. NW Hoja de Requena



Procesos de erosión en las margas arcillosas rojas, areniscas y conglomerados. Mioceno, Terciario. N Requena, Autovía E. NW Hoja de Requena



Margas arcillosas rojas, areniscas y conglomerados. Mioceno, Terciario. N Requena, Autovía E. NW Hoja de Requena



Margas arcillosas rojas, conglomerados y areniscas del Mioceno Med.- Sup. SW de Requena, Valencia. NW Hoja.



Acarcavamiento de las margas arcillosas rojas y areniscas del Mioceno Med.-Sup. SW de Requena, Valencia. NW Hoja.



Acarcavamiento de las margas arcillosas rojas y areniscas del Mioceno Med.-Sup. A-3. SW de Requena, Valencia. NW Hoja.

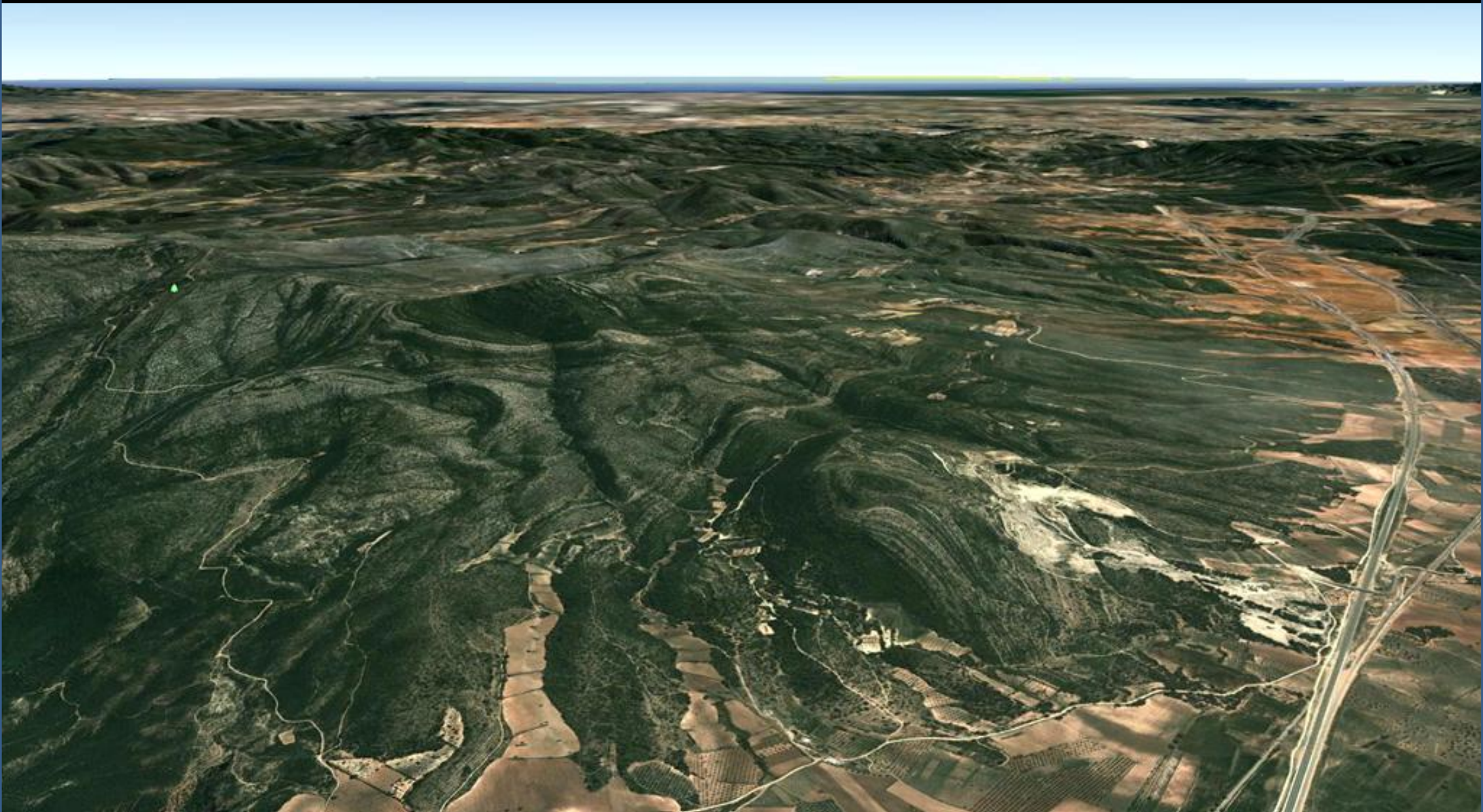


Plegamientos de orientación Ibérica- señalado un anticlinal-en las rocas carbonatadas mesozoicas al NE de El Rebollar, NW de Siete Aguas, Valencia. NE Hoja de Requena- SE de la de Chulilla.

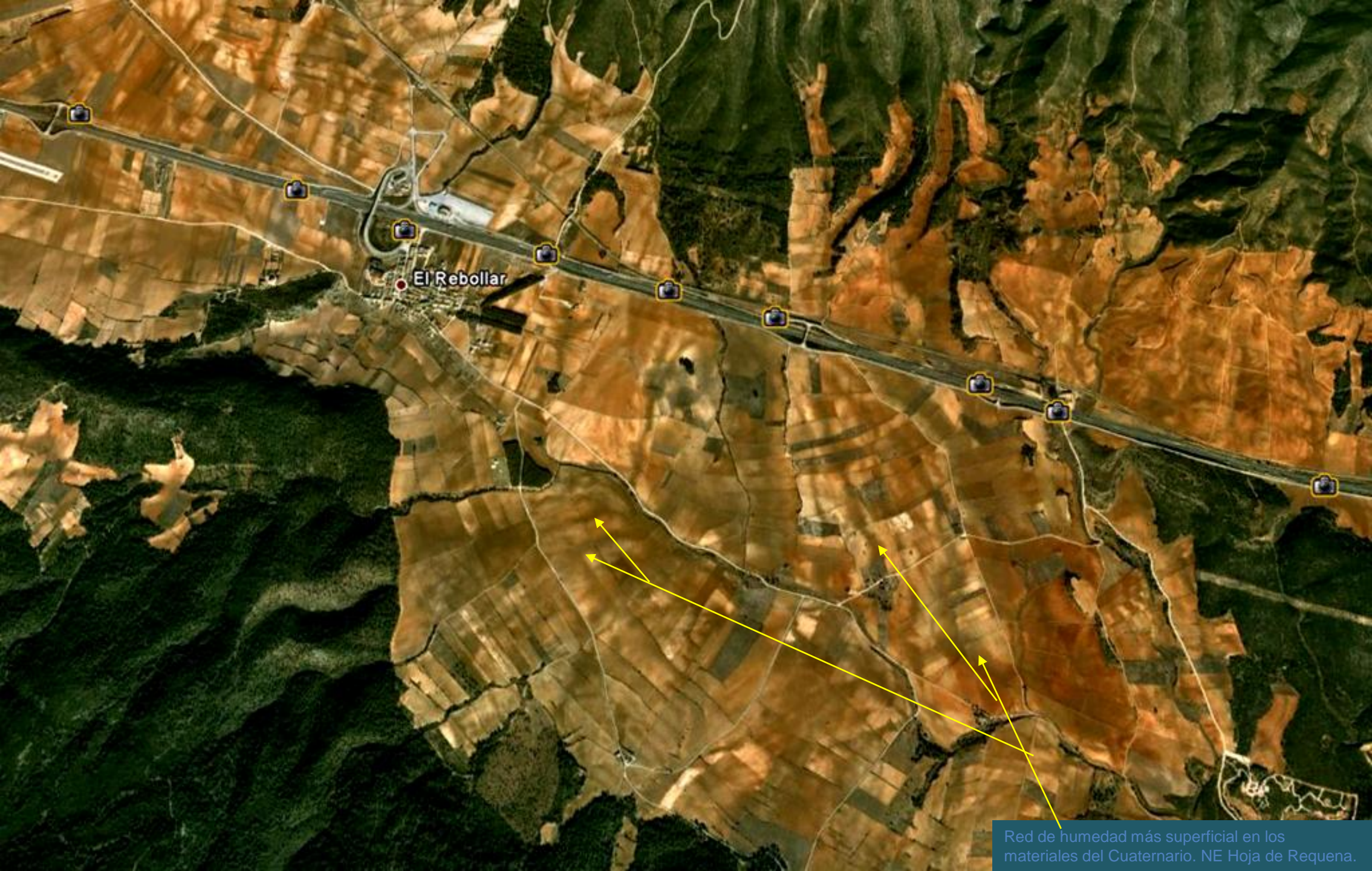


El Rebollar

Relieves Mesozoicos y Terciarios del NE de la Hoja de Requena



Perspectiva desde el W de la imagen anterior: Plegamientos de orientación Ibérica en las rocas carbonatadas mesozoicas al NE de El Rebollar, NW de Siete Aguas, Valencia. NE Hoja de Requena- SE de la de Chulilla. Glacis con Terciarios, y Cuaternario a la der. de la carretera



El Rebollar

Red de humedad más superficial en los materiales del Cuaternario. NE Hoja de Requena.



Calizas y margas del Cretácico. Collado de Ranlón.
NW de Siete Aguas, Valencia. NE Hoja de Requena.



Al fondo los cerros de dolomías del Lias, Jurásico Inf., de Peña Rubia.
Desde los Cretácicos al NW de Siete Aguas. NE Hoja de Requena.



Calizas tableadas del Dogger, Jurásico Med. NE de Siete Aguas, Valencia. NE Hoja de Requena.



Dolomías/calizas tableadas, sub-horizontales, del Lias, Jurásico Inf. En Buñol, Valencia. NE Hoja de Requena. (por jabat001-google)



Anticlinal fallado en las dolomías/calizas del Lias, Jurásico Inf. Barranco Monedí, en Siete Aguas, Valencia. NE Hoja de Requena. (por jabat001-google)



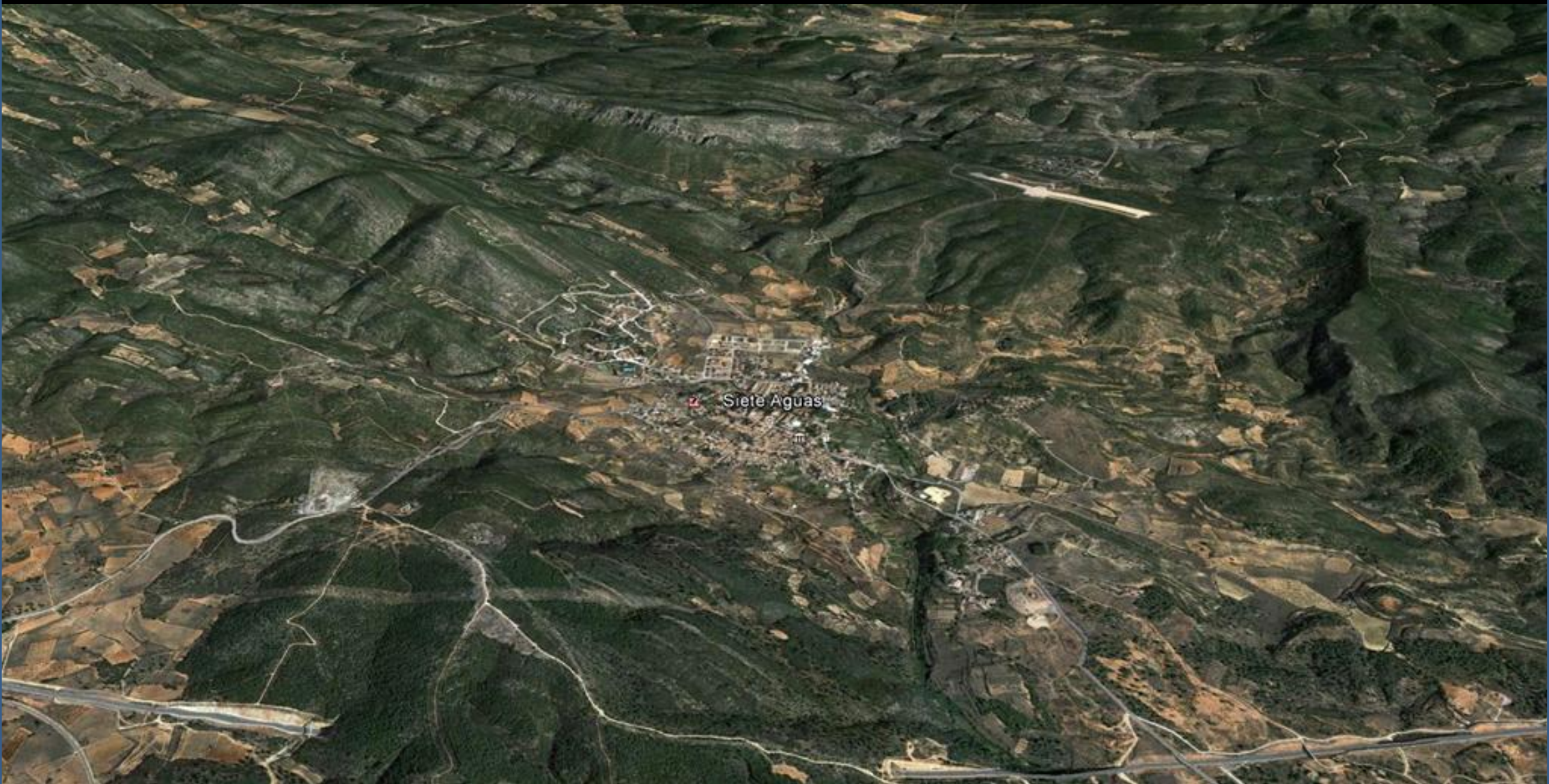
Dolomías/calizas del Lias, Jurásico Inf., y Falla. Barranco Monedí, en Siete Aguas, Valencia. NE Hoja de Requena. (por jabat001-google)



Dolomías/calizas del Lias, Jurásico Inf. Barranco Monedí, en Siete Aguas, Valencia. NE Hoja de Requena. (por jabat001-google)



Dolomías/calizas del Lias, Jurásico Inf., sub-horizontales. Barranco Monedí, en Siete Aguas, Valencia. NE Hoja de Requena. (por jabat001-google)



Perspectiva desde el S de Siete Aguas, Valencia. El pueblo en una depresión rellena de Miocenos, Terciarios, y rodeada de relieves carbonatados Mesozoicos fallados. NE Hoja de Requena.



Conglomerados carbonatados. N de Siete Aguas, Valencia. NE Hoja de Requena.



Depósitos Cuaternarios de la Rambla del Papán.
N de Siete Aguas. NE Hoja de Requena



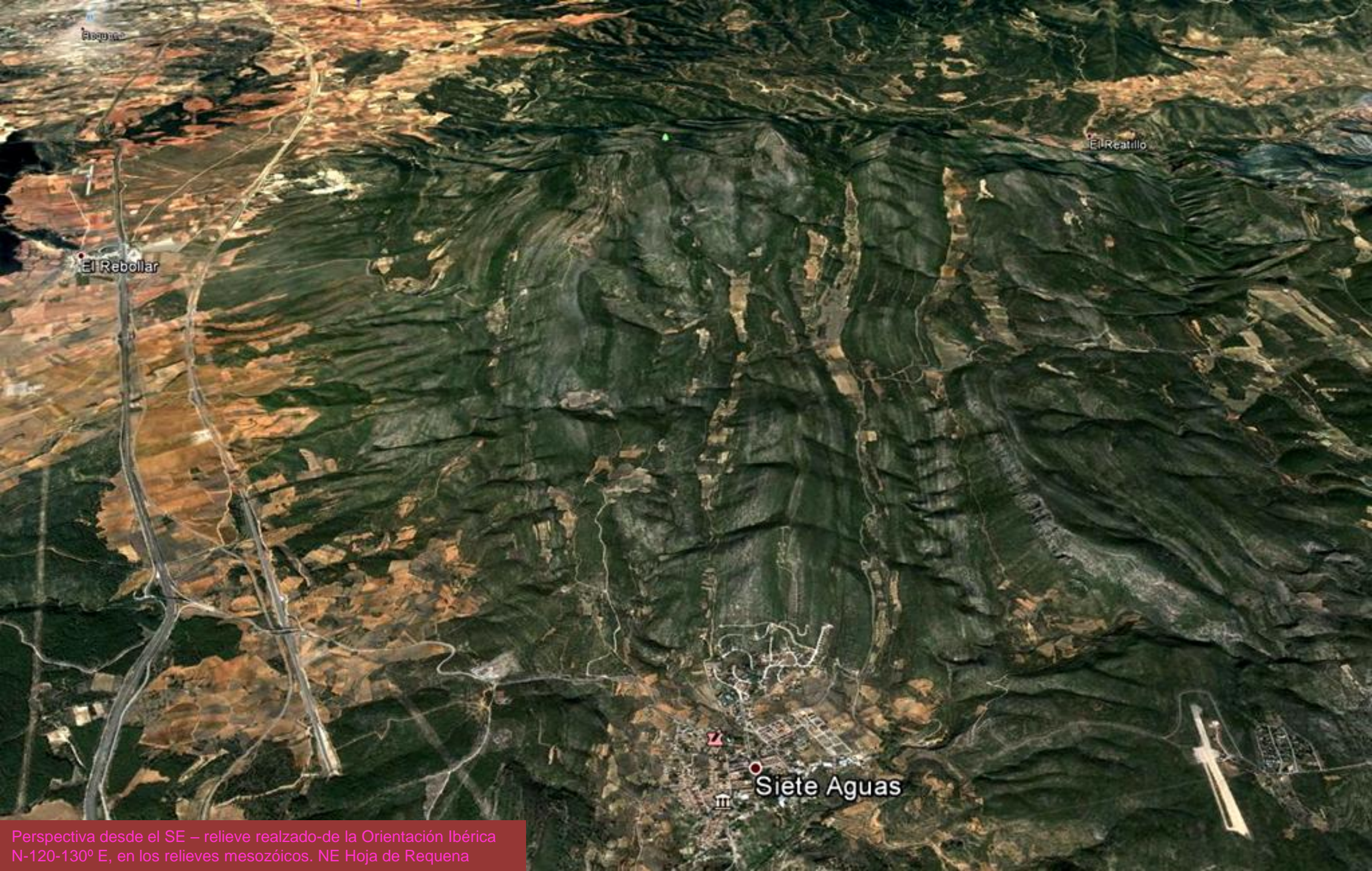
Por los campos entre Miocenos, Terciarios, y Cuaternarios. Al E de El Rebollar, Valencia. NE Hoja de Requena. (por collao2008-google)



Puente Jalance en Requena, Valencia. Río Magro. NW Hoja. (por Rafelbastit-Google)



Campos en Miocenos, Terciarios, y Cuaternarios. SW de Requena.
NW Hoja. (por Javier Pascual/Sol Fuentes-Google)



El Rebollo

El Reatillo

El Rebollo

Siete Aguas

Z

m



La estratificación subparalela a la directriz Ibérica – Imagen anterior-. Relieve realzado. NE Hoja de Requena



Arcillas rosadas y varioladas del Cretácico Sup.-Paleoceno, Terciario. S de Siete Aguas, Valencia. NE Hoja de Requena.



Calizas y margas falladas del Cenomaniense, Cretácico Sup.
SW de Siete Aguas, Valencia. NE Hoja de Requena.



Calizas conglomeráticas y brechoides. Cretácico- Terciario. Autovía SW de Siete Aguas. NE Hoja de Requena.



Pliegues, fallas, en dolomías- calizas- Cretácicas y arcillas y margas Terciario. Autovía E. SW de Siete Aguas. NE Hoja de Requena.



Margas y arcillas rosadas y varioladas Cretácico- Terciarias tectonizadas. S Siete Aguas. Autovía E. NE Hoja de Requena



Margas y arcillas rosadas y varioladas Cretácico- Terciarias. S Siete Aguas. Autovía E. NE Hoja de Requena



Margas arcillosas rojas y conglomerados del Mioceno, Terciario. Al SE de Siete Aguas. Autovía E. NE Hoja de Requena



Margas arcillosas rojas, limolíticas, del Mioceno Inf. Terciario.
SE de Siete Aguas, Valencia. NE Hoja de Requena.



Detalle en anterior: Pequeña falla en las margas arcillosas rojas, limolíticas, del Mioceno Inf. Terciario. SE de Siete Aguas, Valencia. NE Hoja de Requena.



Detalle de una anterior: Nivel de conglomerados entre margas y arcillas rojizas, con areniscas. Terciario. SE de Siete Aguas, Valencia. NE Hoja de Requena.



Donde la anterior: fallas entre los niveles de areniscas, arcillas y conglomerados. Terciario. SE de Siete Aguas, Valencia. NE Hoja de Requena.



Desde el Cretácico, F. Weald, al Cenomanense.
Al SE de Siete Aguas. NE Hoja de Requena



Calizas sub- verticales Mesozoicas. NE Sierra de Malacara, Valencia. NE Hoja de Requena.



Dolomías sacaroideas del Cretácico Sup. N de La Portera, Valencia. Centro E Hoja de Requena.



Barranco del Quixal, Buñol, Valencia. Entre Cretácicos y Terciarios. Centro E Hoja de Requena. (por jabat001-google)



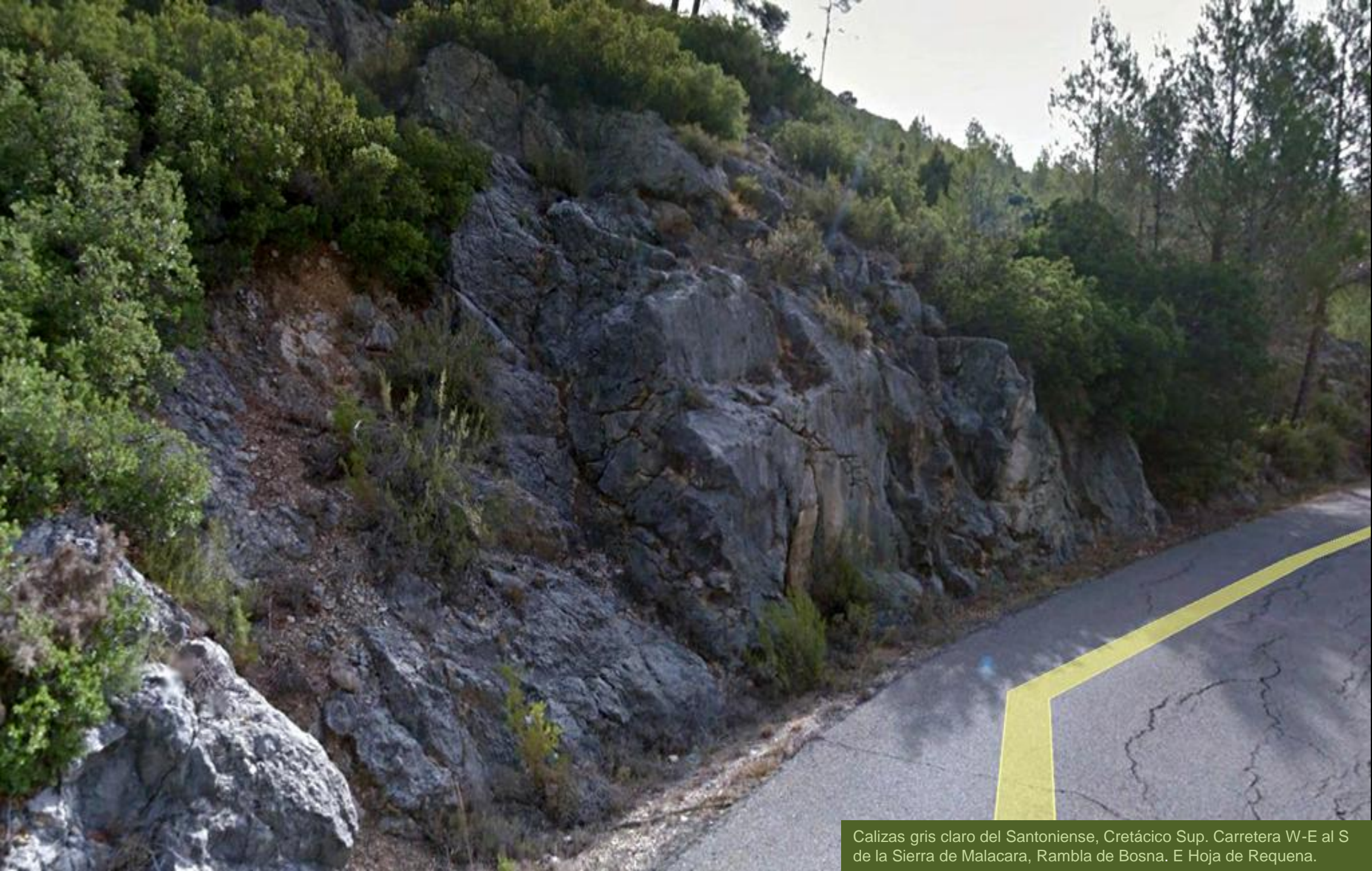
Detalle de la anterior; Barranco del Quixal, Buñol, Valencia. Entre Cretácicos y Terciarios. Centro E Hoja de Requena. (por jabat001-google)



Barranco del Toyo, Buñol, N del Pardenilla, Valencia. Cretácicos Sup., tectonizados, y Terciarios. E Hoja de Requena. (por Jabat001-google)



Calizas gris claro del Santoniense, Cretácico Sup. Carretera W-E al S de la Sierra de Malacara, Rambla de Bosna. E Hoja de Requena.



Calizas gris claro del Santoniense, Cretácico Sup. Carretera W-E al S de la Sierra de Malacara, Rambla de Bosna. E Hoja de Requena.



Arcillas rojas y conglomerados del Mioceno, Terciario. Carretera W-E al S de la Sierra de Malacara, Rambla de Bosna. E Hoja de Requena.



Calizas conglomeráticas y brechoides, del Cretácico Sup-Paleoceno, F Garumniense.? Carretera W-E al S de la Sierra de Malacara, Rambla de Bosna. E Hoja de Requena.



Margas arcillosas, conglomerados y areniscas del Mioceno, Terciario. Carretera W-E al S de la Sierra de Malacara, Rambla de Bosna. .Hoja de Requena.



Conglomerados y areniscas del Mioceno, Terciario S de Casas de Ferrer, W del Río Mijares, cerca del Puente de la Paridera, Valencia. SE Hoja de Requena.



Conglomerados y areniscas del Mioceno, Terciario S de Casas de Ferrer, W del Río Mijares, cerca del Puente de la Paridera, Valencia. SE Hoja de Requena.



Acarcavamientos en las arcillas y areniscas del Mioceno, Terciario. SW de La Portera, Valencia. SW Hoja de Requena.



Actuaciones en talud Autovía E sobre areniscas del Mioceno, Terciario. SE Urbanización Ventamina. Borde NE Hoja de Requena

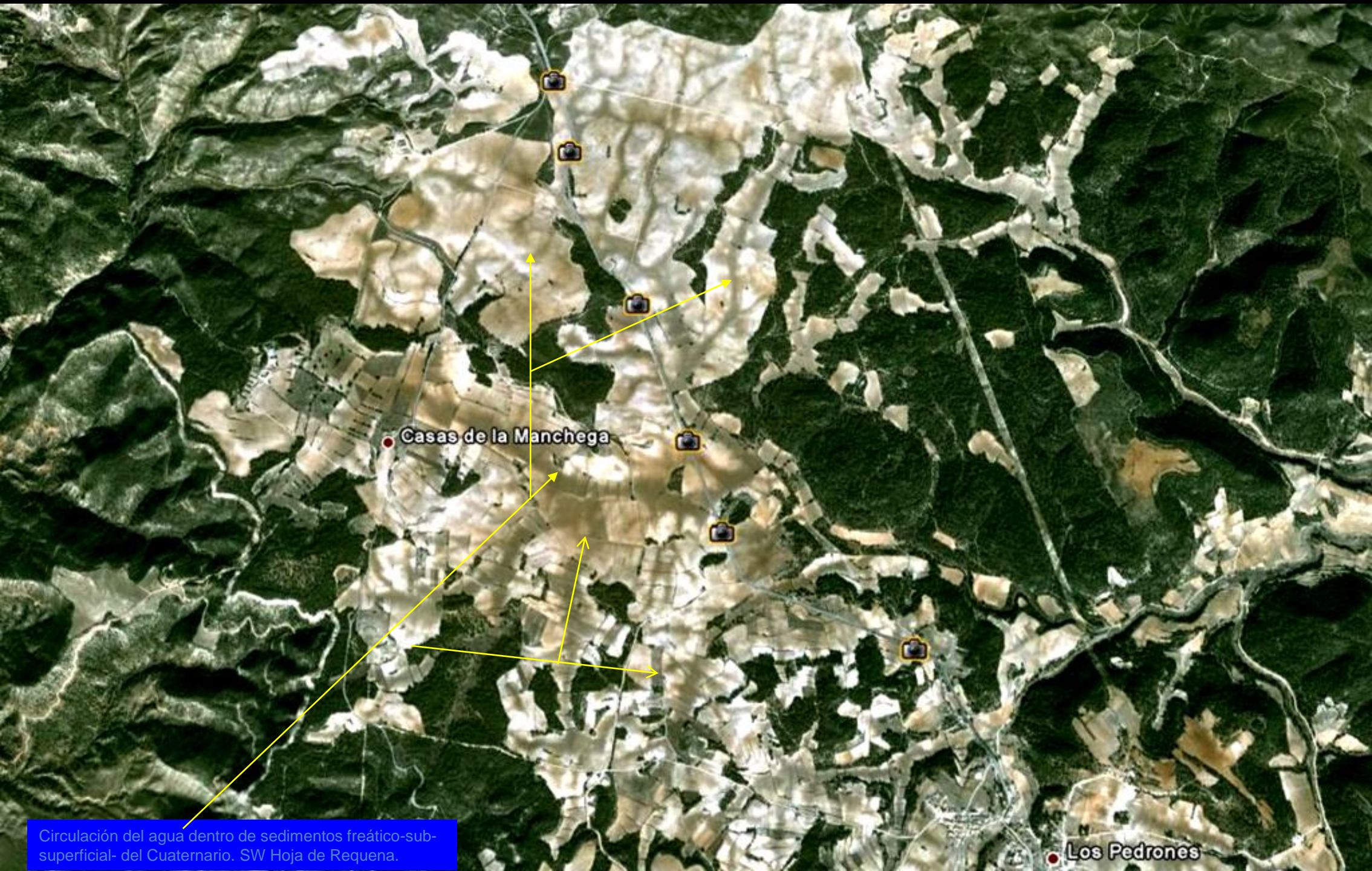


Estratificaciones cruzadas en las areniscas del Mioceno, Terciario. SW de La Portera, Valencia. SW Hoja de Requena.





Freáticos sub-superficiales en los detríticos, en su mayoría del Cuaternario, al SW de La Portera, SW Hoja de Requena.



Casas de la Manchega

Los Pedrones

Circulación del agua dentro de sedimentos freático-sub-superficial- del Cuaternario. SW Hoja de Requena.



Conglomerados del Mioceno, Terciario. N de Cerro Herrera. SE Hoja de Requena.



Puente Paridera. Yátova, Valencia. SE Hoja de Requena. (por Tomás Navarro Ortí-Google)



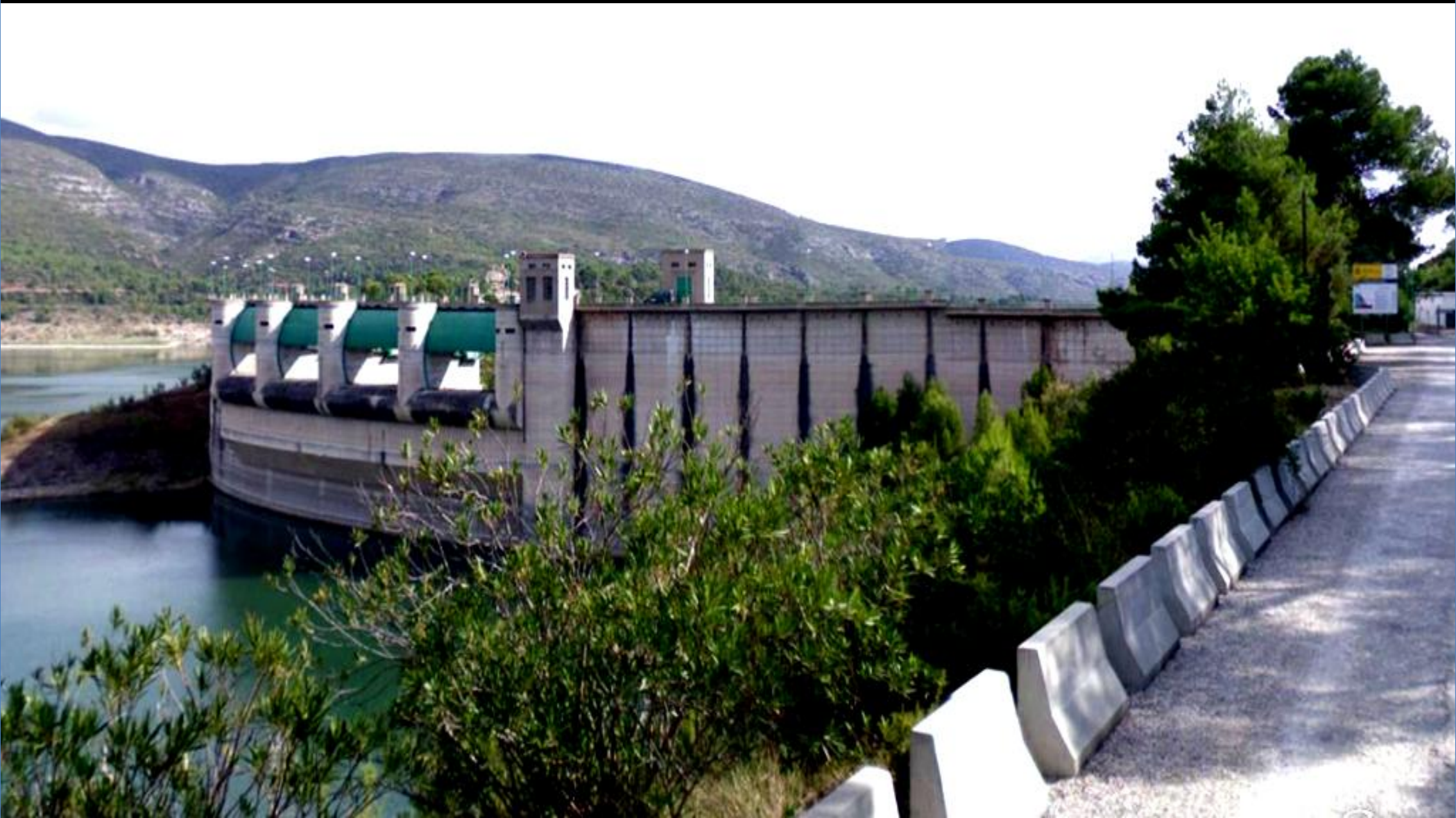
Calizas y margas del Mioceno Inf. Terciario. W de Pedrones de Arriba, Valencia. SW Hoja de Requena.



Javigar66



Pantano de Forata. / Desde arriba -relieve realzado) SE Hoja de Requena (fotos de Chirin/ javi gar -Google)



Embalse de Forata- cerrada entre sedimentos Miocenos, Terciario, en flancos y Cretácico en centro. SE Hoja de Requena. Desde estribo derecho.



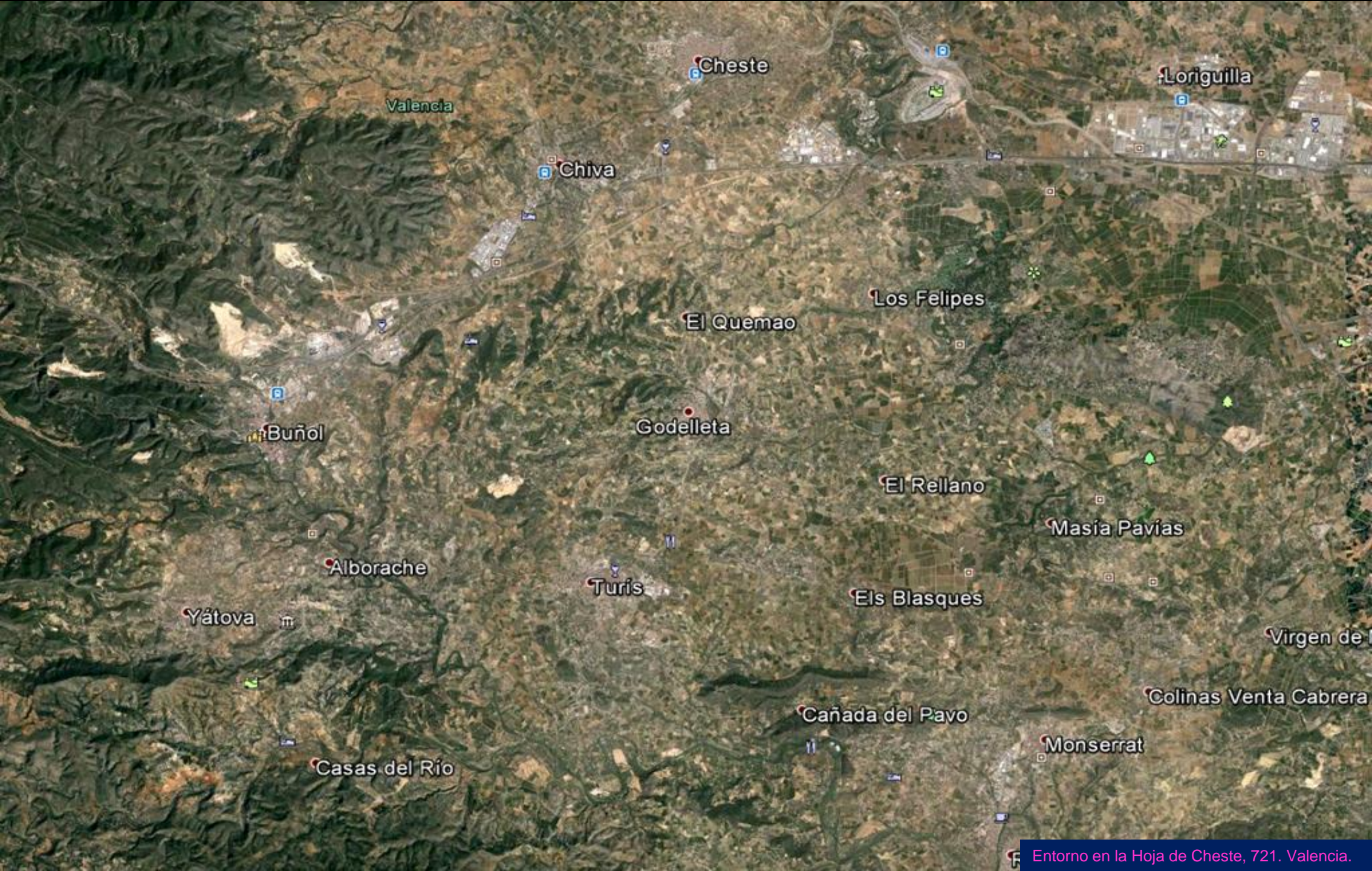
Embalse de Forata- cerrada entre sedimentos Miocenos, Terciario, en flancos y Cretácico en centro. SE Hoja de Requena Arriba Izquierda Cretácico Cenomanense –calcareniras- fallado.



En estribo izquierdo- el N- del Embalse de Forata. Conglomerados del Mioceno, Terciario. SE Hoja de Requena.



Mioceno, Terciario, margo detrítico. S de La Portera. Centro SW Hoja de Requena



Valencia

Cheste

Loriguilla

Chiva

Los Felipes

El Quemao

Buñol

Godolleta

El Rellano

Masia Pavías

Alborache

Turis

Els Blasques

Yátova

Virgen de l

Colinas Venta Cabrera

Cañada del Pavo

Montserrat

Casas del Río



Calizas- falladas- del Mesozoico, NE de Charco Valero, Chiva, Valencia. NW Hoja de Ceste. (por biquepedalvalencia-google)



Sierra de Chiva, Valencia. Barranco de La Parra. NW Hoja de Cheste. (por juan jocomvic-google)



Barranco de La Parra, NW Hoja de Ceste, Valencia.
Cretácicos Sup. Y Jurásicos. (por juan jocomvc-google)



Barranco de La Parra, NW Hoja de Cheste, Valencia. Cretácicos Sup. Y Jurásicos. Tectonizados. (por juan jocomvlc-google)



Barranco de La Parra, Sierra de Chiva, Valencia. NW Hoja de Cheste. Calizas del Cretácico Sup., tectonizados. (por juan jocomvlc-google)



Calizas del Mioceno Med.-Sup. Terciario. S del Rincón del Viejo, SE de Cheste, Valencia. NE Hoja.





Arcillas rojas y conglomerados, del Mioceno Med.-Sup. Terciario. S del Rincón del Viejo, SE de Cheste, Valencia. NE Hoja.



Entre conglomerados y areniscas del Mioceno, Terciario.
NW de Chiva, Valencia. NW Hoja de Ceste.



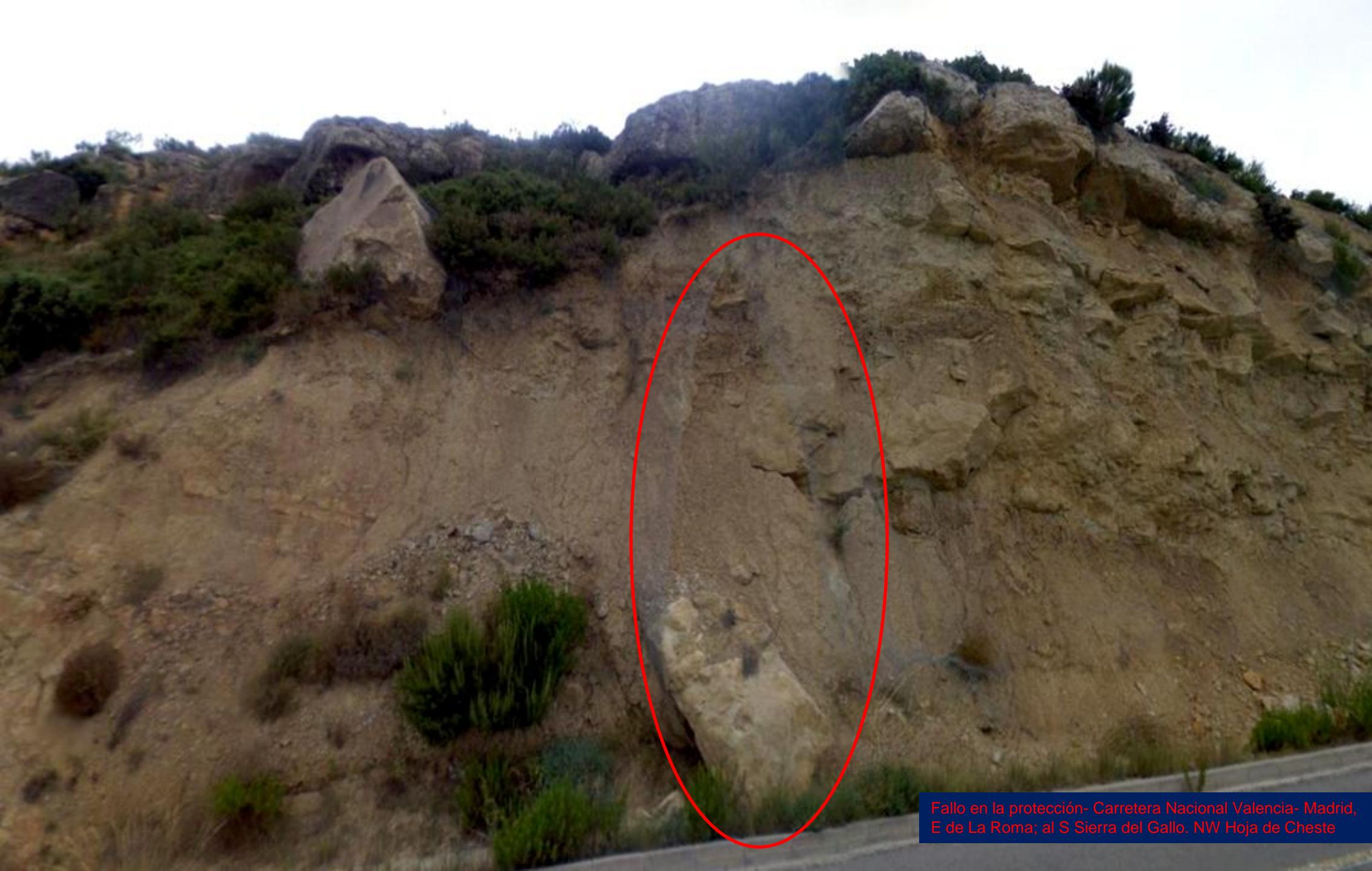
Detalle en anterior: Conglomerados y areniscas del Mioceno, Terciario. NW de Chiva, Valencia. NW Hoja de Cheste.



Por la A3. Al NW de Buñol. Conglomerados y areniscas del Paleógeno, Terciario. Sinforma y falla. NW Hoja de Ceste.



Bulonado y gunitado sobre los taludes del ferrocarril al N de Buñol, NE de Alto Gordo, Valencia. Jurásicos Inf.



Fallo en la protección- Carretera Nacional Valencia- Madrid, E de La Roma; al S Sierra del Gallo. NW Hoja de Cheste



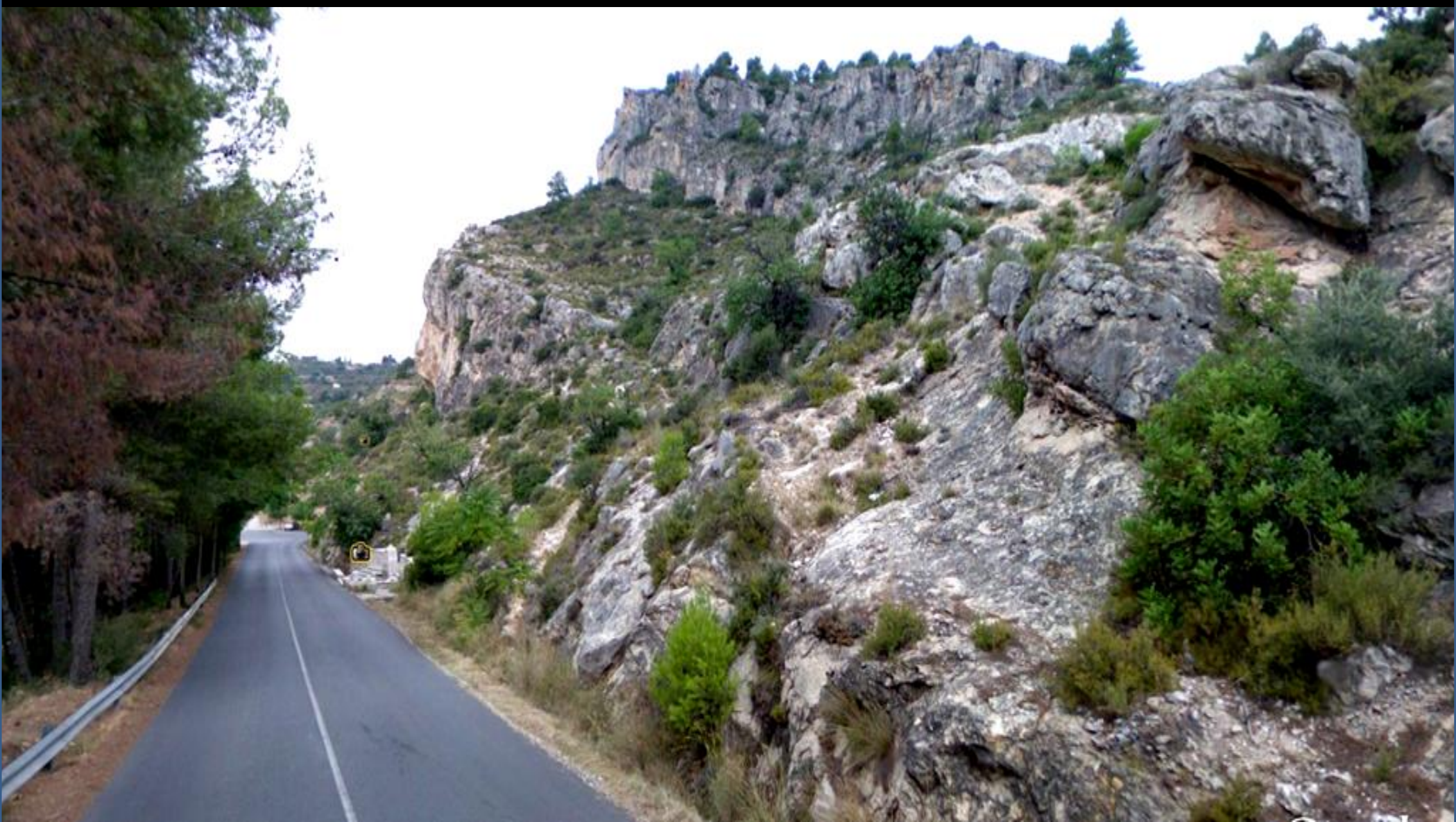
Medidas de protección en el Cretácico del talud de Autovía E. N de La Roma. NW de Buñol, Valencia. NW Hoja de Cheste.



Calizas falladas del Jurásico Sup. Autovía. N. Buñol. Centro W Hoja de Ceste.



Cabalgamiento sobre Cretácico F. Weald. Al N de Buñol en Autovía. Centro W Hoja de Ceste.



Calizas Cretácicas Al W de Buñol. W Hoja de Ceste.



Bajo la autovía AI NW de Buñol. W Hoja de Chestre



Margas claras y alguna caliza, del Mioceno Med.-
Sup. S de Chiva, Valencia. NW Hoja de Ceste.



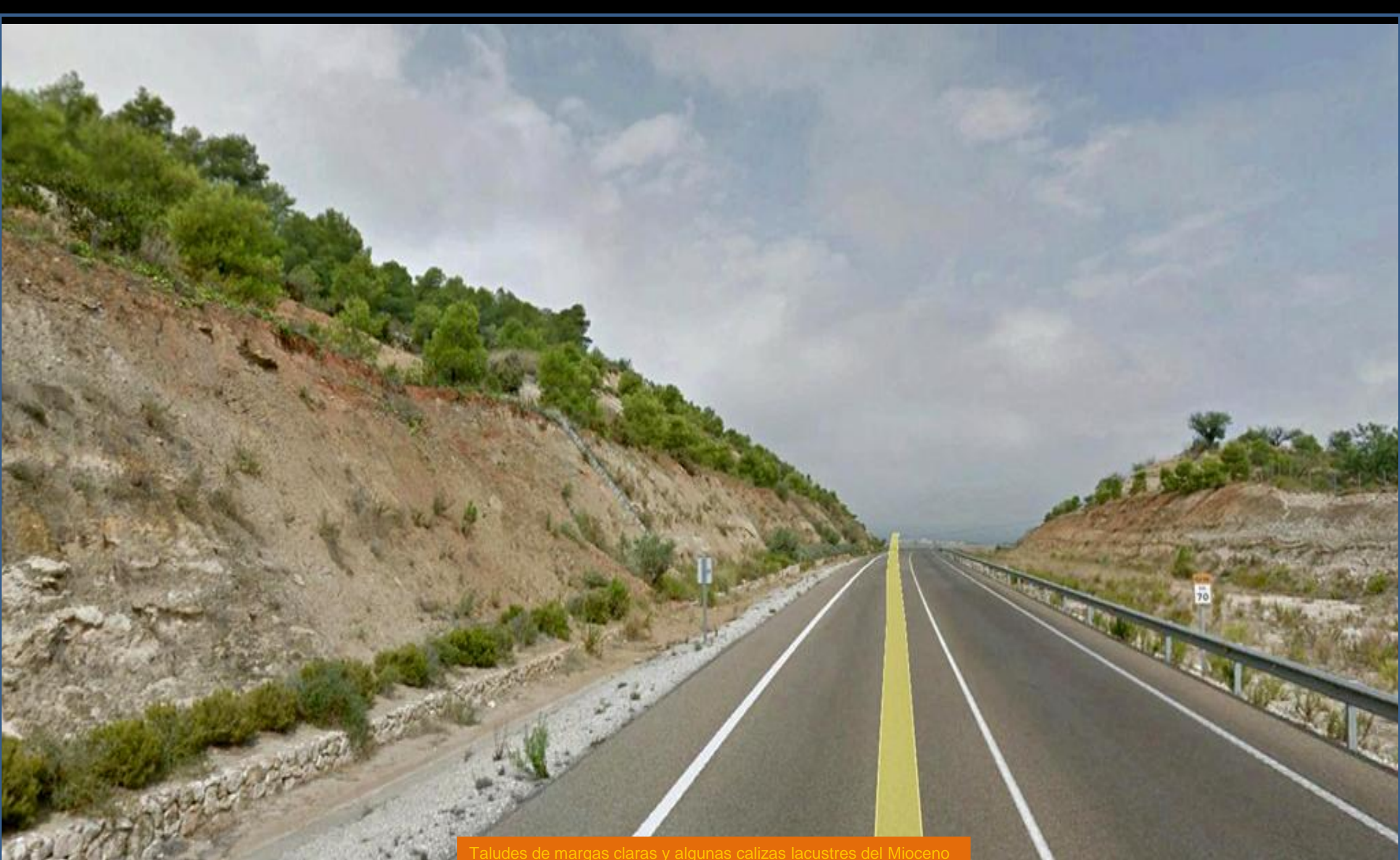
Falla – y posibles estructuras de arrastre- en las margas del Neógeno, Terciario. Autovía E. S de Chiva. Centro N Hoja de Cheste.



Margas claras y alguna caliza, del Mioceno Med.-
Sup. S de Chiva, Valencia. NW Hoja de Cheste.



Falla normal en las margas del Neógeno al S de Chiva en la Autovía E. Centro N Hoja de Cheste



Taludes de margas claras y algunas calizas lacustres del Mioceno Med-Sup. SE de Chiva, Valencia. Centro N Hoja de Ceste.



Detalle en anterior: Mallazo sobre las margas claras y algunas calizas lacustres del Mioceno Med-Sup. SE de Chiva, Valencia. Centro N Hoja de Cheste.





Fallas entre materiales del Cretácico, y Terciario Paleógeno areniscoso, al NW de Buñol en antigua carretera. NW Hoja de Cheste



Areniscas, algunas gravas y limos arenosos del Paleógeno, Terciario- junto imagen anterior. Al NW de Buñol en antigua carretera. El Portilo. W Hoja de Cheste



Arriba, calizas del Kimmeridgiense Med. Malm, Jurásico Sup., abajo, conglomerados y niveles de areniscas del Paleógeno, Terciario. El Portillo de Buñol NW Hoja de Cheste



Areniscas del Paleógeno, Terciario. El Portillo de Buñol. NW Hoja de Cheste



Espejos de falla en las areniscas del Paleógeno, Terciario. El Portillo de Buñol. NW Hoja de Cheste



Conglomerados y niveles de areniscas del Paleógeno, Terciario. El Portillo de Buñol. NW Hoja de Cheste



Viaducto de la Autovía E, en El Portillo de Buñol. (imagen partida). W Hoja de Chestre



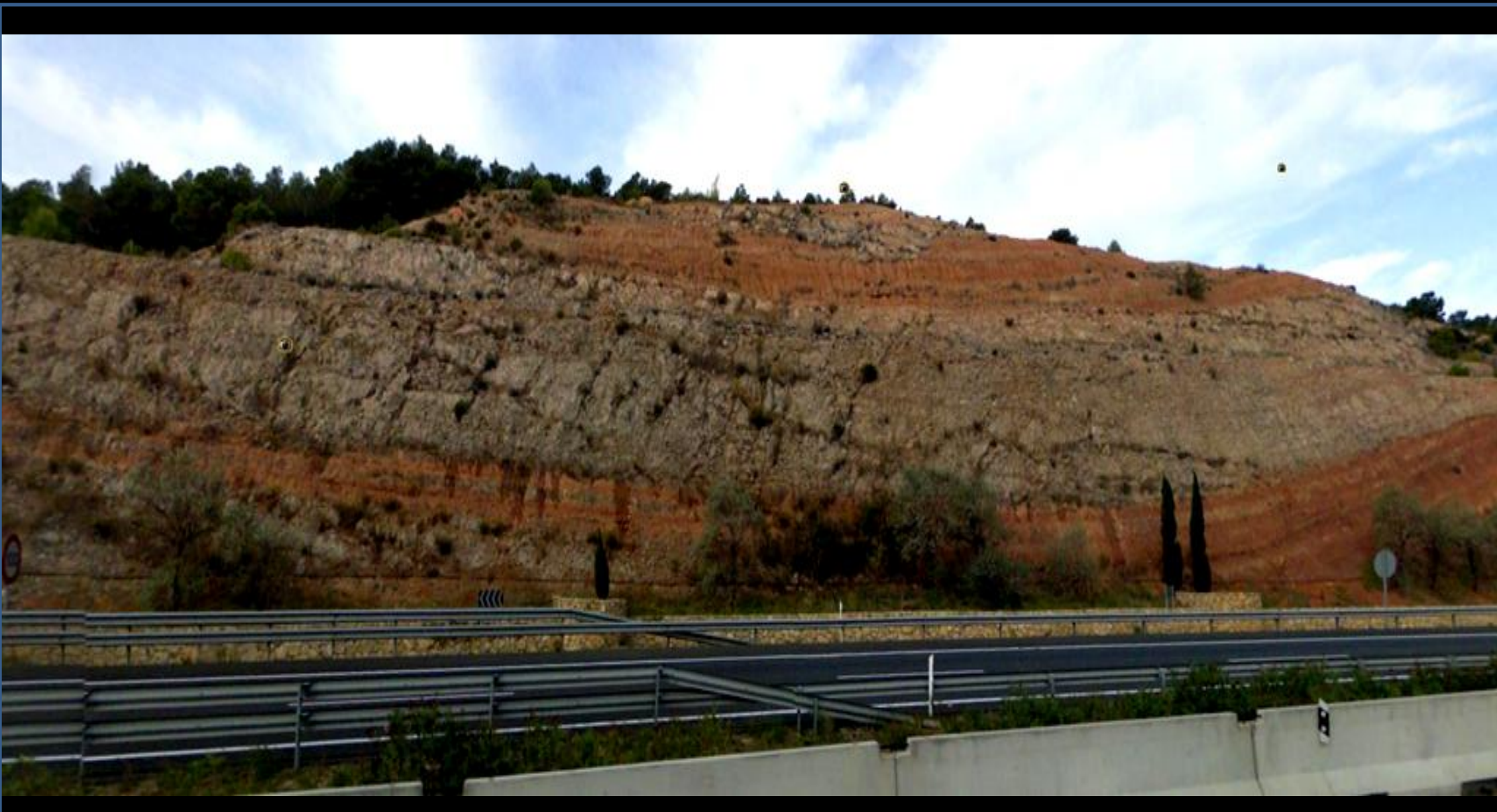
Zona de basculamiento en las areniscas del Paleógeno, Terciario. SW del Portillo de Buñol. NW Hoja de Cheste



Conglomerados y areniscas del Paleógeno, Terciario.
Al SW Portillo de Buñol. NW Hoja de Chestre



Niveles del Paleógeno, Terciario, en Autovía E. Conglomerados y niveles de areniscas. S Sierra del Gallo. NW de Hoja de Cheste.



Sinclinal en los conglomerados y niveles de areniscas del Paleógeno, Terciario. Autovía, al S Sierra del Gallo. NW Hoja de Cheste



Pliegue en los conglomerados y niveles de areniscas del Paleógeno, Terciario. En Autovía, al S Sierra del Gallo. NW Hoja de Cheste



Sinclinal abierto y fallas en los conglomerados y niveles de areniscas del Paleógeno, Terciario. En Autovía, al S de Sierra del Gallo. NW Hoja de Cheste



Conglomerados, areniscas y arcillas del Paleógeno, Terciario. En Autovía, al S del Alto Gordo, NW de Buñol, Valencia. W Hoja de Cheste



Calizas del Kimmeridgiense, Jurásico Sup. W de Buñol, Valencia. W Hoja de Cheste. (por Leshii-Google)



Calizas del Kimmeridgiense, Jurásico Sup. Carcalín, W de Buñol, Valencia. W Hoja de Cheste. (por Jonhoa-Google)



Calizas-falladas-del Cretácico Sup. El Alto Jorge, NW de Buñol, Valencia./ Detalle. W Hoja de Cheste. (por Luis Sanz/jferre r851- Google)



Margas y limolitas del Mioceno Med.-Sup. E de Godelleta, Valencia. Centro Hoja de Cheste.



Sierra Perenchiza, Altos de Calicanto. Calizas del Cretácico Sup- Paleoceno, Terciario. Y cantera./ Abajo, Sierra Perenchiza desde el campo. E de Godelleta, Valencia. (por Federico Yubero Maic.-Google) E Hoja de Ceste.



Cantera de Sierra Perenchiza, en imagen anterior: Calizas del Cretácico Sup-Paleoceno, Terciario. Torrent, Valencia. E Hoja de Cheste. (por Roman Rojo-Google)



© 2015 Google

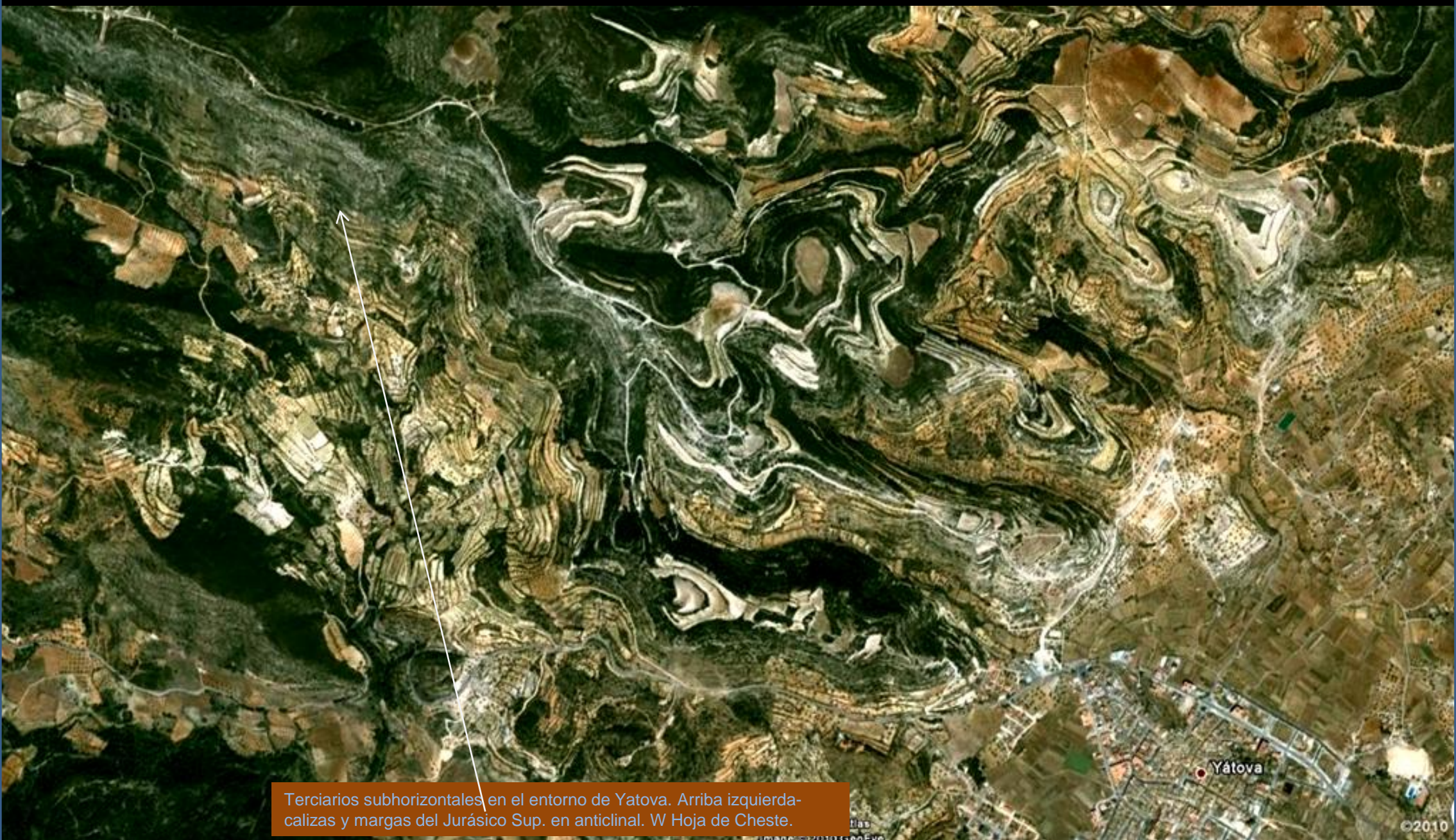
Arcillas rojizas y margas limolíticas del Mioceno, Terciario. S de Godolleta, Valencia. Centro W Hoja de Cheste.



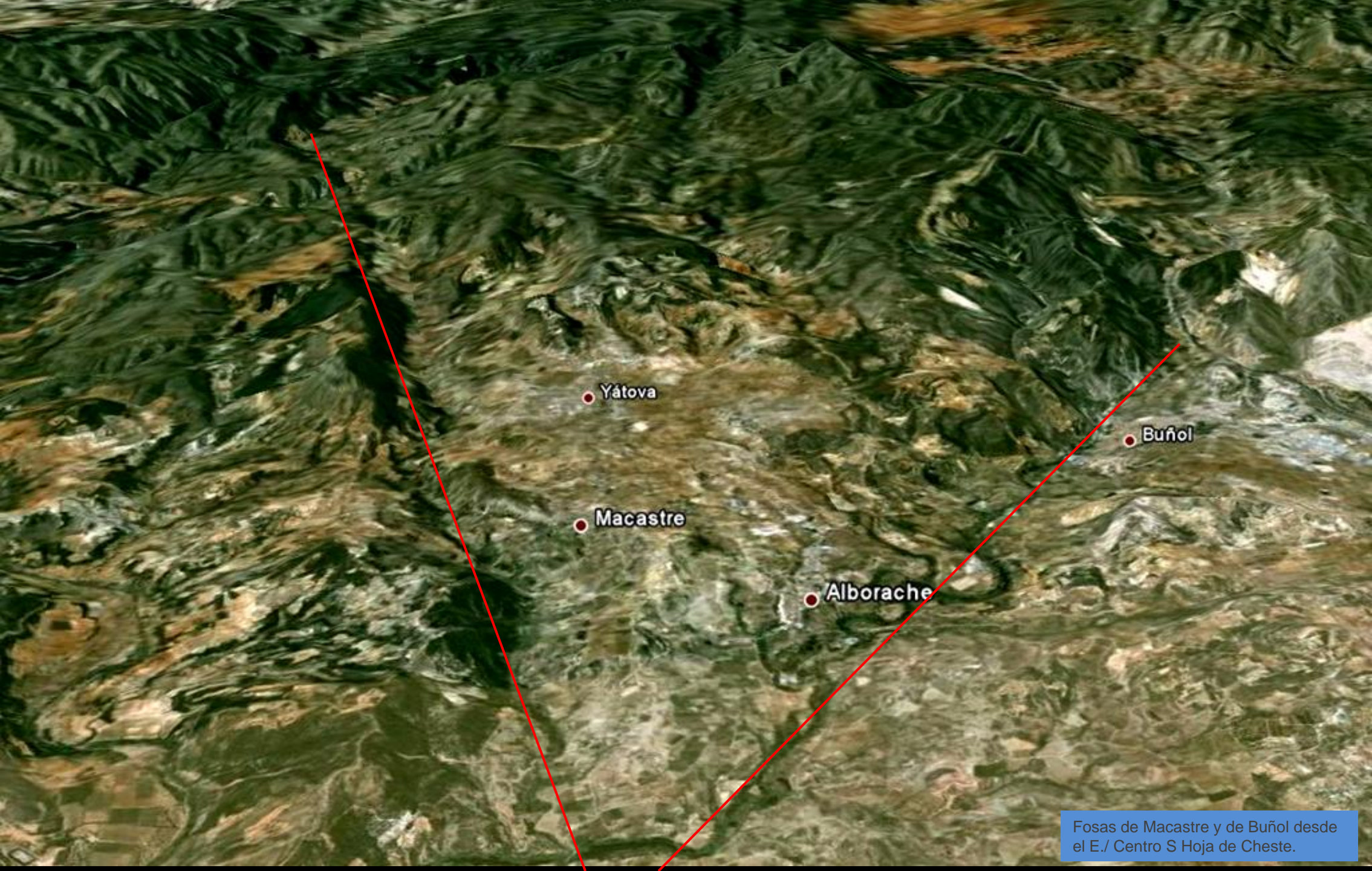
Molino Galán en Alborache, Valencia. W Hoja de Cheste. (por manusco-google)



Río Juanes, Cueva de Las Palomas, N de Yatova, Valencia. Calizas del Cretácico Sup.-Paleoceno, Terciario. SW Hoja de Cheste. (por José Domenech Palau/Gustavo Llobet-Google)



Terciarios subhorizontales en el entorno de Yatova. Arriba izquierda-calizas y margas del Jurásico Sup. en anticlinal. W Hoja de Cheste.



Yátova

Macastre

Alborache

Buñol

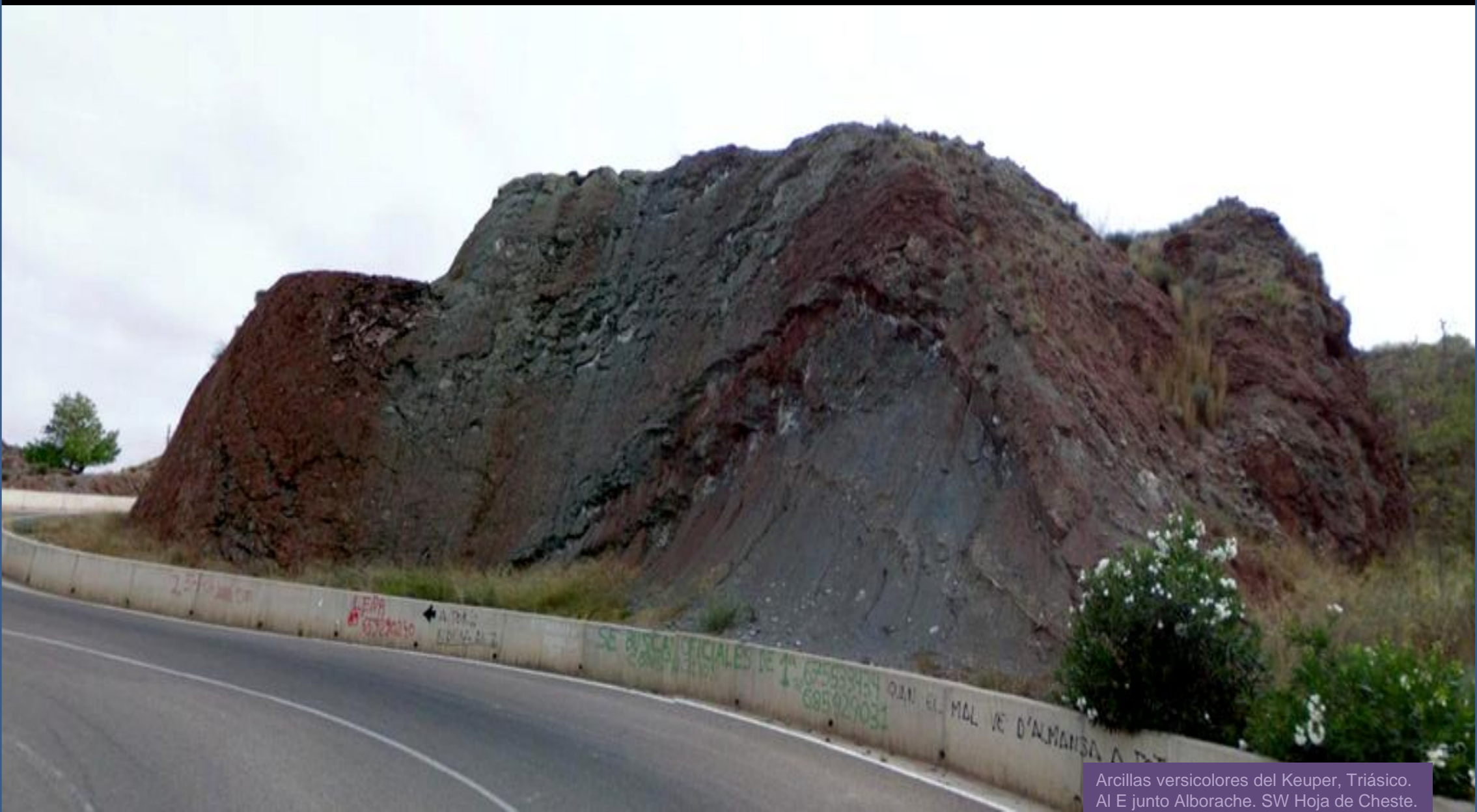
Fosas de Macastre y de Buñol desde el E./ Centro S Hoja de Ceste.



Arcillas vericolores, con yeso, y pasadas de areniscas, del Keuper, Triásico Sup. NW Llano de la Tortasa, SW de Turis, Valencia. SW Hoja de Cheste.



Arcillas vericolores, con yeso en negruzco, y pasadas de areniscas, del Keuper, Triásico Sup. NW Llano de la Tortasa, SW de Turis, Valencia. SW Hoja de Ceste.



Arcillas versicolores del Keuper, Triásico. Al E junto Alborache. SW Hoja de Ceste.



Arcillas versicolores con yesos del Keuper, Triásico. Al E junto Alborache. SW Hoja de Ceste.



Arcillas versicolores con yesos del Keuper, Triásico. Al E junto Alborache. SW Hoja de Cheste.



Arcillas versicolores con yesos del Keuper, Triásico.
Al E junto Alborache. SW Hoja de Ceste.



Arcillas con yesos del Keuper, Triásico. Al E junto Alborache. SW Hoja de Cheste.



Arcillas versicolores con yesos del Keuper,
Triásico. Al E junto Alborache. SW Hoja de Cheste.



Arcillas versicolores con yesos del Keuper, Triásico. Entre Albarache y Turis. Centro S Hoja de Ceste.



Arcillas versicolores con yesos del Keuper, Triásico.
Entre Alborache y Turis. Centro S Hoja de Cheste.



Yesos del Keuper al S de
Turis. Centro Hoja de Cheste.



Arcillas versicolores Keuper, al SW de Macastre. SW Hoja de Ceste.



Arcillas versicolores Keuper, al SW de Macastre. SW Hoja de Cheste.



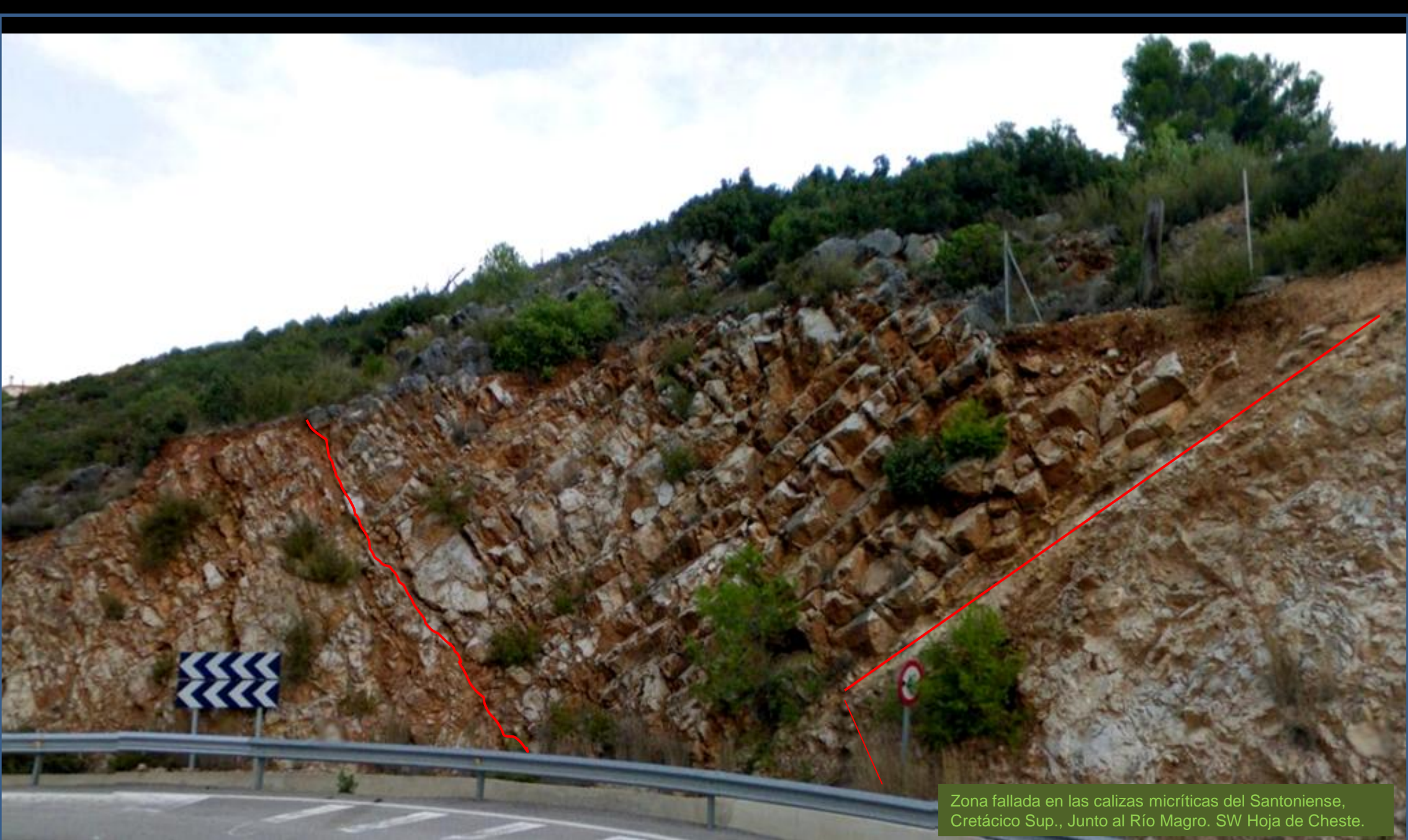
Margas grises con yesos del Paleógeno, Terciario
Al SW de Macastre SW Hoja de Cheste.



Calizas- sub horizontales- del Mioceno Med-Sup. Terciario.
Pico Montretón, S de Yatova, Valencia. SW Hoja de Ceste.



Contacto mecánico entre Terciario margoso y calizas micríticas del Santoniense, Cretácico Sup., Junto al Río Magro. SW Hoja de Ceste.



Zona fallada en las calizas micríticas del Santoniense, Cretácico Sup., Junto al Río Magro. SW Hoja de Ceste.



Conglomerados de cantos calcáreos del Paleógeno, Terciario, y, encima, suelo y terra rossa. Al Sur, junto Río Magro. SW Hoja de Ceste.



Conglomerados y areniscas del Neógeno,
Terciario. Junto Río Magro. SW Hoja de Ceste.



Calizas del Santoniense, Cretácico Sup. Sumidero kárstico.
Al Norte meandro del Río Magro. SW Hoja de Ceste



Calizas del Santoniense, Cretácico Sup. Al Norte
meandro del Río Magro. SW Hoja de Cheste



Detalle en la zona de la anterior -Calizas del Santoniense, Cretácico Sup. Al Norte meandro del Río Magro. SW Hoja de Cheste



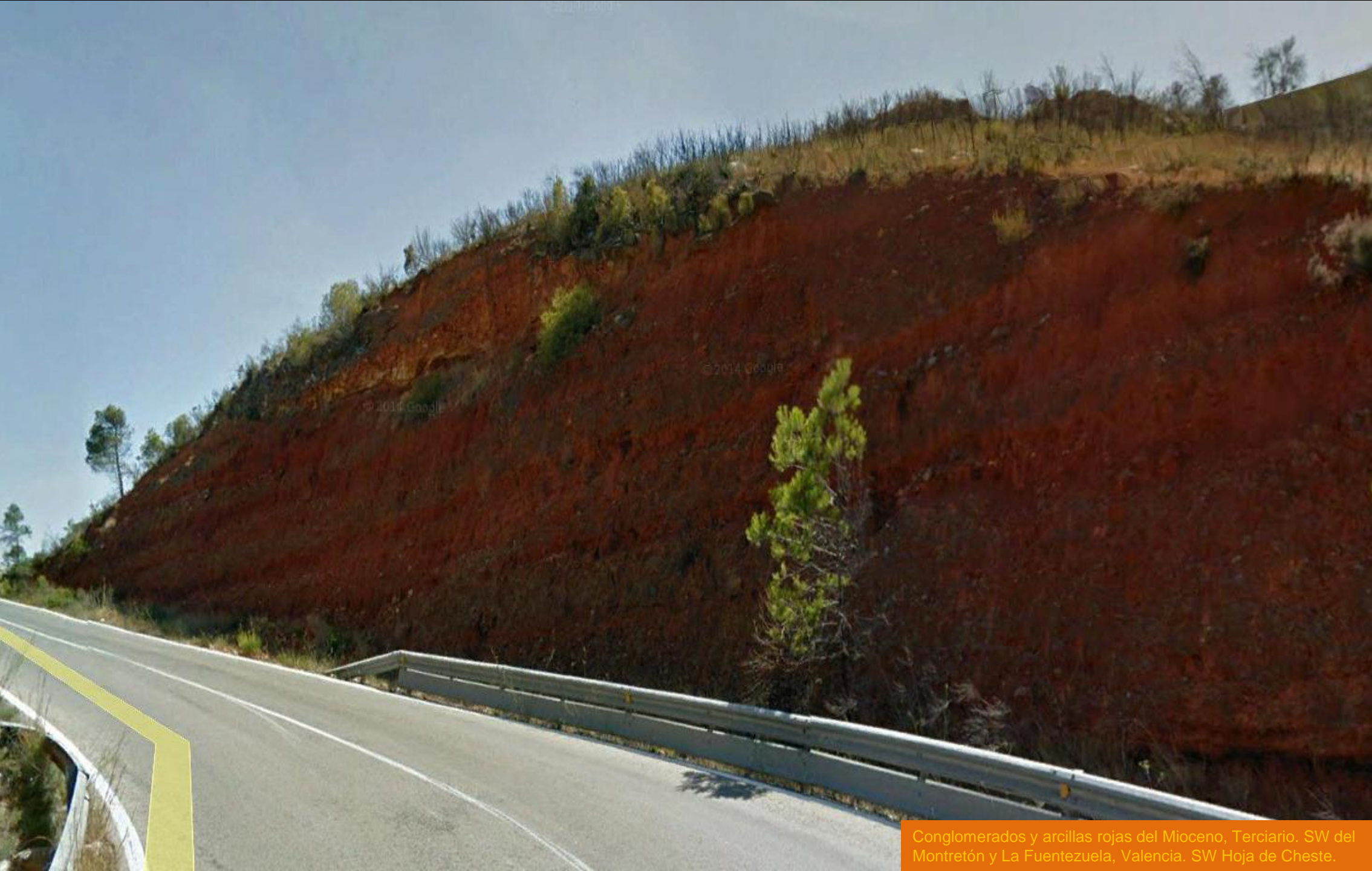
Si solo destaca él. ¿Lo llamamos 'nivel guía'? Cretácico Santiense.
SW de La Fuentezuela, S del Montretón. SW Hoja de Cheste,



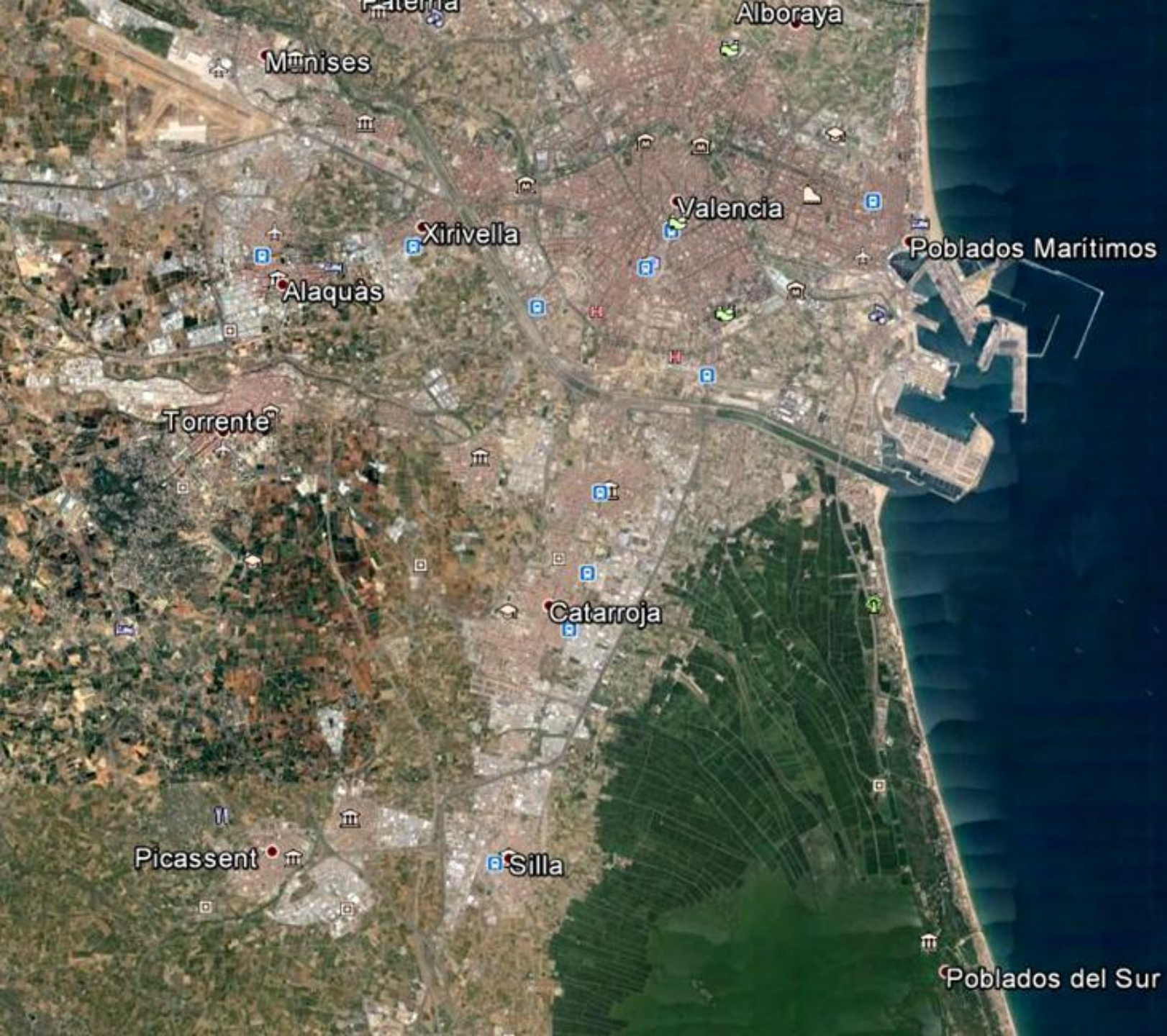
Por el Río Magro, al W de Montroy,
Valencia S Centro Hoja de Cheste.



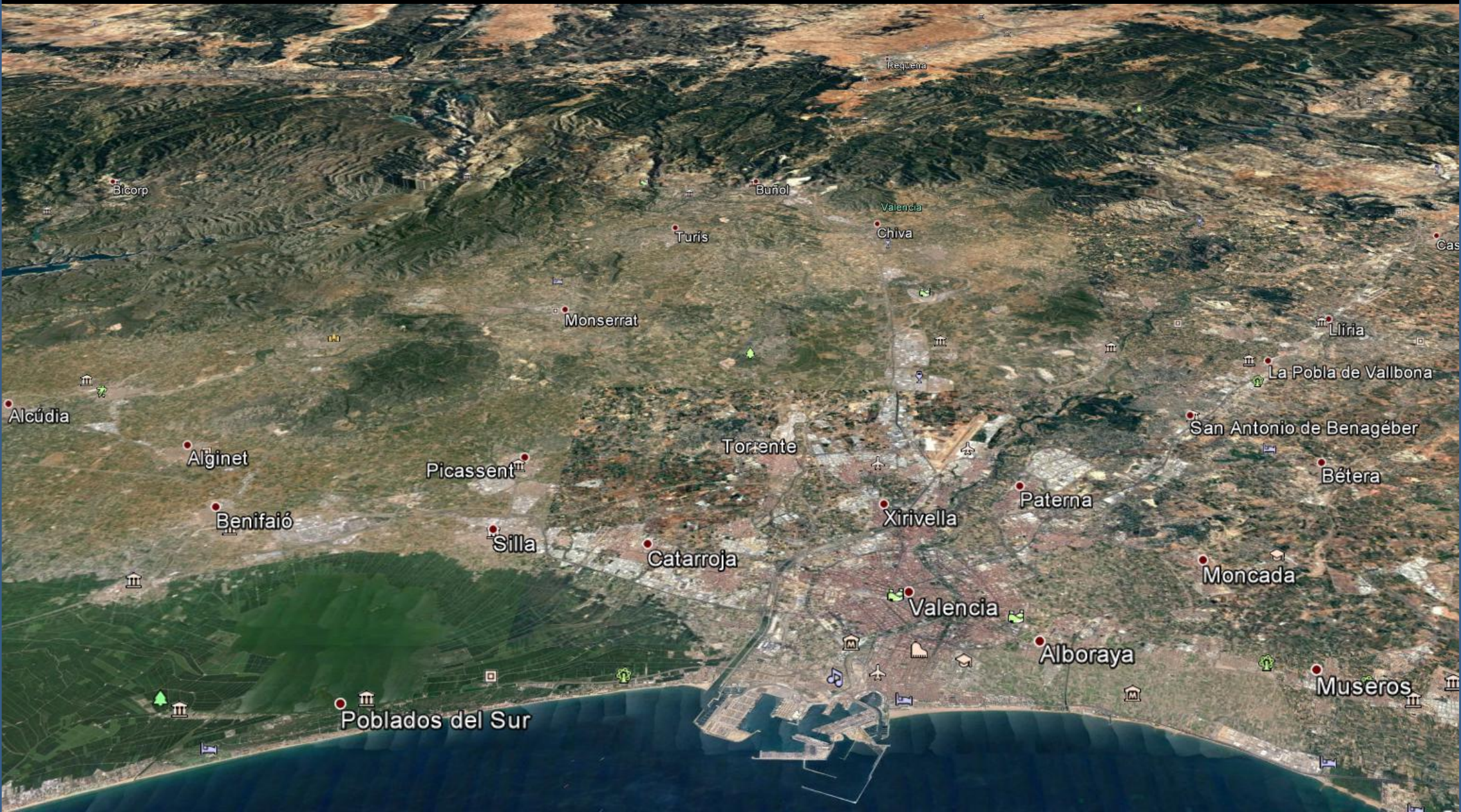
Cantera de arcillas, versicolores, del Keuper, Triásico Sup. SE de Montserrat, Valencia. SE Hoja de Chestre. (por Wistor-Google)



Conglomerados y arcillas rojas del Mioceno, Terciario. SW del Montretón y La Fuentezuela, Valencia. SW Hoja de Ceste.



Mar Mediterráneo



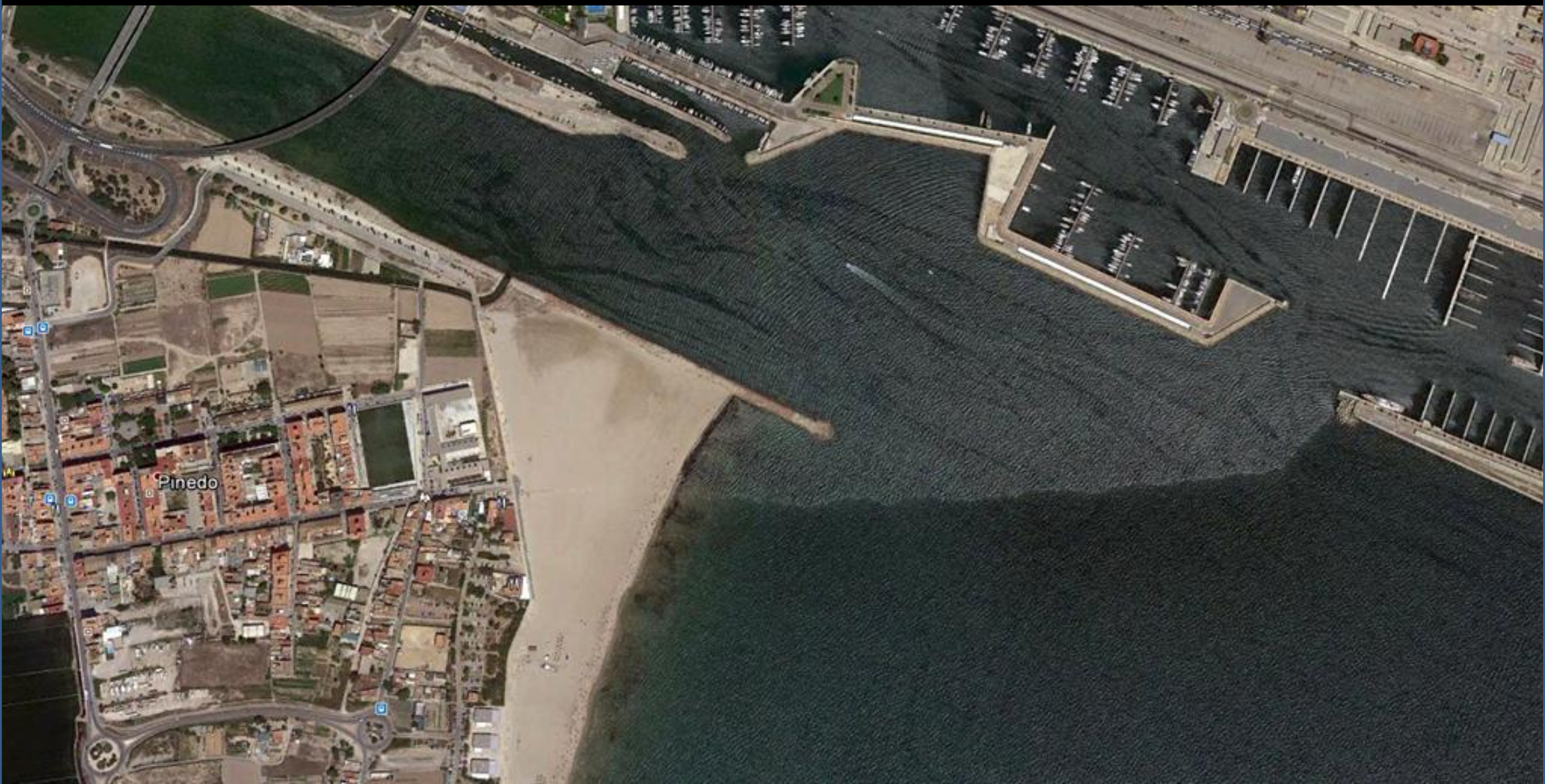
Perspectiva desde el E de la gran llanura de baja pendiente hacia el mar, con algunos cerros testigos y el N de La Albufera.



Río Turia por Quart de Poblet, Valencia.
NW Hoja. (por Kamil Macniak-Google)



La Huerta. Alboraya. Cuaternarios. NW Hoja. (por Joan Antoni Matias C.-Google)



Desembocadura del Río Turia, Playa de Pinedo. Valencia. Centro Hoja.



Playa del Saler, Al S. (Tonio Castells- google) / Playa La Patacona Al N (Petercero-google)



Explotación de las areniscas del Mioceno, Terciario.
SW de El Vedat. Valencia. SW Hoja.



Ámbito de la zona central de la Albufera desde el E. Sur Valencia



Gola y Albufera. Carretera de El Palmar. E Hoja de Valencia



Zona norte de los terrenos de La Albufera.
SW de El Palmar. Hoja de Valencia.



Zona norte de los terrenos de La Albufera.
NE de Silla. Hoja de Valencia.



María

La Albufera (per maria-xesus, google)

Con esta serena imagen nos vamos al archivo 7



©2016 Google

Hay veces en las que la tarde se vuelve hermosa y uno no hace más que contemplarla ..

A Valencia Sur.